

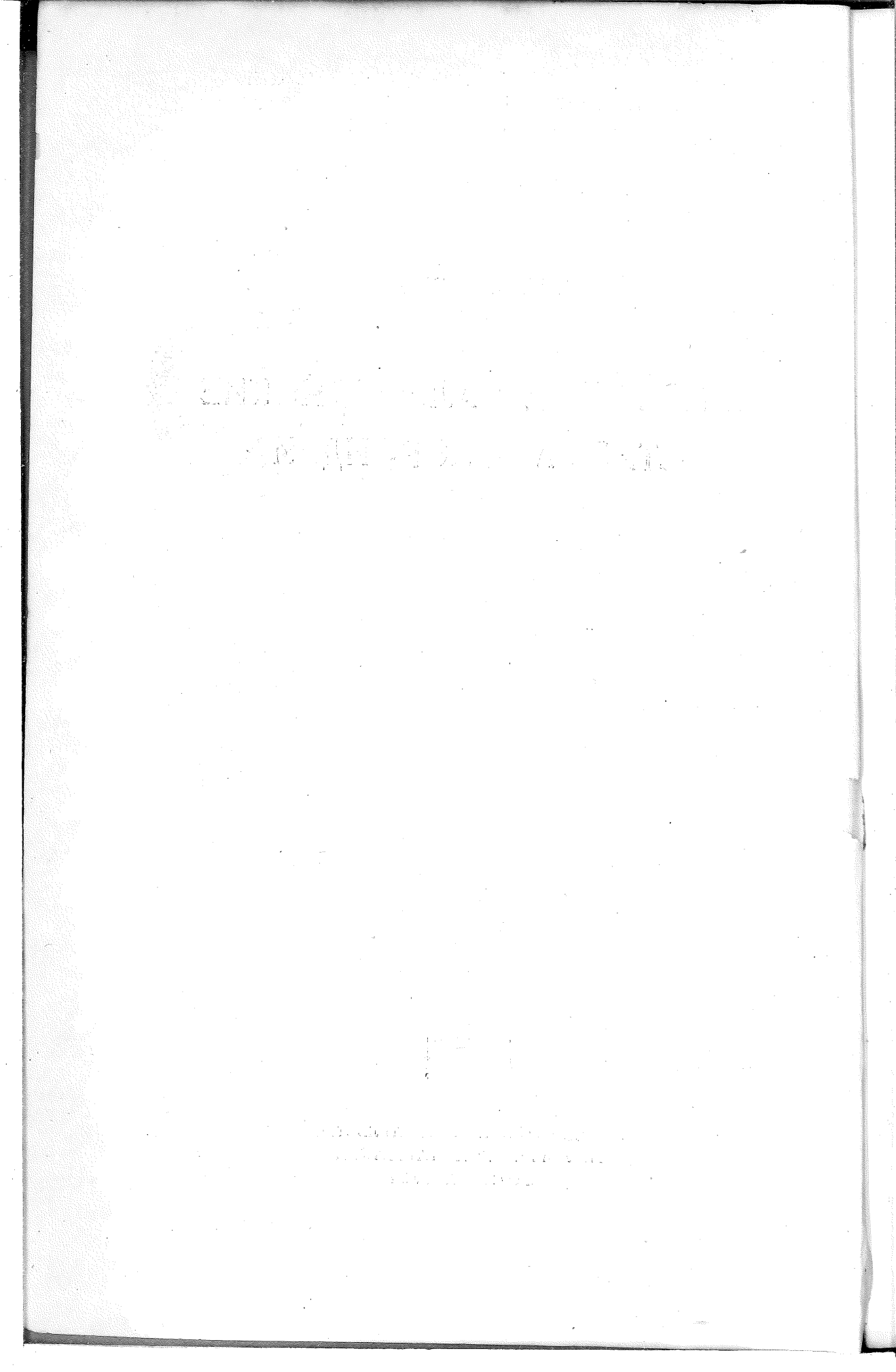
ВСЕСОЮЗНЫЙ НАУЧНО-ИССЛЕДОВАТЕЛЬСКИЙ
ГЕОЛОГИЧЕСКИЙ ИНСТИТУТ (ВСЕГЕИ)
МИНИСТЕРСТВА ГЕОЛОГИИ

В. И. ЯВОРСКИЙ

НЕКОТОРЫЕ ПАЛЕОЗОЙСКИЕ
СТРОМАТОПОРОИДЕИ



ГОСУДАРСТВЕННОЕ ИЗДАТЕЛЬСТВО
ГЕОЛОГИЧЕСКОЙ ЛИТЕРАТУРЫ
МОСКВА 1951



ВВЕДЕНИЕ

В изучении фауны строматопороидей современными научными методами, впервые примененными у нас после Великой Октябрьской социалистической революции, к настоящему времени достигнуты уже сравнительно большие результаты.

Прежде всего нужно отметить, что нами впервые установлено распространение этой фауны в среднем кембрии¹. Это открытие имеет немаловажное значение для изучения стратиграфии отложений кембрийского возраста. Впервые остатки этой фауны изучены нами также для мезозоя СССР.

Остаются еще совершенно неизученными у нас представители этой фауны из пермской системы. Между тем, по имеющимся данным можно было заключить, что фауна эта там присутствует, и, действительно, В. Д. Наливкиным она обнаружена в кунгурском ярусе на Урале. К сожалению, собранные образцы настолько выветрелы, что в изготовленных тонких шлифах очень слабо различается строение скелета и совершенно не улавливается строение волокон ткани. При макроскопическом рассмотрении этой фауны отчетливо выступают на боковой поверхности скелетов концентрические пластинки и толстые пересекающие их радиальные столбики. Видимо, микроскопическое изучение этой фауны возможно только по образцам, не затронутым выветриванием.

Остается неизученной эта фауна и из нижнего девона, так как ни одной достоверной формы этого возраста у нас пока нигде не обнаружено. То же можно сказать и об отложениях каменноугольной системы. Хотя И. И. Горским (1938 г.) эта фауна из нижнего карбона и описана, но он отмечает, что о карбоновом возрасте ее говорить с достоверностью нельзя. Мы полагаем, что возраст этой фауны верхнедевонский. Идентичная фауна была передана нам Г. И. Водорезовым из заведомо верхнедевонских отложений Южного Урала.

Как видно из таблиц распространения палеозойских и мезозойских строматопороидей на территории нашей страны (см. приложение), всего у нас изучено свыше 230 представителей различных видов этой фауны, что почти достигает количества всех изученных форм этой фауны в зарубежных странах.

Несмотря на то что по сравнению с площадным распространением в СССР осадков, содержащих данную фауну, эта цифра весьма незначительна, достигнутые результаты изучения этой фауны позволяют сделать некоторые выводы об ее распространении и путях миграции.

Больше всего материала в этом отношении дает изучение представителей фауны строматопороидей верхнесилурийского возраста. Географическое распространение этой фауны довольно широкое. Как можно

¹ Г. Г. Петц (1901 г., стр. 335) указывает на совместное нахождение археоциат со строматопорами у Гавриловского завода (Салаир). Указание это нашими исследованиями не подтвердилось.

видеть из прилагаемой таблицы распространения строматопороидей, аналогичные или близкие им формы имеются в Прибалтике, Подолии, Западной Украине, Средней Азии (включая Ферганскую котловину), на Печоре, Урале, Тимане, Таймыре, в Тунгусском бассейне, Восточной Сибири и Кузбассе, что свидетельствует о значительности верхнесилурийского морского бассейна, в котором они развивались. Представители этой фауны описаны в зарубежной литературе из британского верхнего силура, в меньшей мере — из Северной Америки. Впрочем, эту связь (установленную ранее палеонтологами) верхнесилурийского моря Англии и Северной Америки с сибирским, как и с западными областями СССР, наша фауна только подтверждает.

По юго-западной окраине Кузнецкого бассейна фауна строматопороидей относится к остракодовому известняку, верхнесилурийский возраст которого установлен П. С. Лазуткиным на основании изучения им фауны брахиопод (1936 г.). В этом известняке, литологически резко отличном от покрывающего его крековского известняка, массовым развитием пользуется *Stromatopora typica* Rosen, известная только из верхнего силура. Поэтому относить часть этого известняка к нижнему девону, как это делают некоторые исследователи (Л. Л. Халфин, 1948 г., стр. 9), нет оснований.

Stromatopora typica прекрасной сохранности установлена нами в отложениях горы Гляден на левом берегу р. Чумыш, ниже д. Сарычумышской. П. С. Лазуткин в упомянутой работе приводит две формы, общие для этих отложений и остракодового известняка; *Str. typica* будет третьей общей формой для этих отложений, подтверждающей их одновозрастность. Фациально отложения этих двух районов Салаира резко различаются между собой.

Фауна строматопороидей девонского возраста Европейской части Союза изучена весьма мало. Напротив, она значительно полнее изучена для восточной части страны, начиная с Урала. Для частей этой площади изучено выше ста различных представителей рассматриваемой фауны. Однако большинство из них относится пока к туземным формам и только четырнадцать являются общими с западноевропейскими и североамериканскими.

Из числа представителей фауны строматопороидей, общих для СССР и Западной Европы, отметим: *Actinostroma astroites* Rosen, *A. clathratum* Nich., *A. hebbornense* Nich., *A. bifarium* Nich., *A. verrucosum* Goldf., *A. irregulare* Nich., *A. stellulatum* Nich., *A. intertextum* Nich., *Clathrodictyon regulare* Rosen, *Cl. fastigiatum* Nich., *Cl. striatellum* d'Orb., *Cl. vesiculosum* Nich. a. Murg., *Cl. variolare* Rosen, *Cl. columnare* Nich., *Cl. regulare* var. *carnicum* Vin., *Labechia stilophora* Nich., *Stromatopora typica* Rosen, *Str. carteri* Nich., *Str. concentrica* Goldf., *Str. Hüpschii* Barg., *Str. Beuthii* Barg., *Str. discoidea* Lonsd., *Stromatoporella solitaria* Nich., *Str. granulata* Nich., *Paralleloporella capitata* Goldf., *Amphipora ramosa* Phil.

Из числа представителей этой фауны, общих для СССР и Северной Америки, отметим: *Clathrodictyon vesiculosum* Nich. a. Murg., *Cl. vesiculosum* var. *minutum* Parks, *Cl. fastigiatum* Nich., *Actinodictyon neptuni* Parks, *Stromatopora typica* Rosen.

Среди мезозойских представителей строматопороидей не оказалось ни одной формы, общей с западноевропейскими, что, видимо, целиком связано с малой еще изученностью этой фауны как за рубежом, так и у нас. Отчасти это, вероятно, относится и к девону.

Значение рассматриваемой фауны для стратиграфии подчеркивается тем, что, как можно видеть из прилагаемых таблиц, различные виды ее не имеют широкого вертикального распространения и не выходят за пределы отделов систем.

В девоне появляется род *Stromatoporella*, имеющий значительное развитие в его среднем и, отчасти, в верхнем отделах. Появляются также роды *Hermatostroma*, *Idiostroma* и др. Мезозойские строматопороиды по строению волокон ткани резко отличаются от палеозойских, как это можно видеть из описания их Деорн, Яворским (1947 г.) и др. Вместе с тем некоторые роды из отложений этого возраста перестают существовать в мезозое. Все это только подтверждает значение строматопороидей для определения возраста вмещающих осадков и указывает на необходимость их более широкого изучения.

Из имеющегося в нашем распоряжении большого числа экземпляров строматопороидей далеко еще не все изучены. Ниже дается описание некоторых из них.

ОПИСАНИЕ ФАУНЫ

ГИДРОКТИНОИДНАЯ ГРУППА

Семейство *ACTINOSTROMIDAE*

Род *Actinostroma* Nicholson, 1886

Actinostroma crassum sp. nov.

Табл. I, фиг. 1 и 2

Диагноз. Данных о размерах скелета описываемого вида и внешней форме ценостеума нет. На боковой поверхности одного из обломков ценостеума отчетливо выступают толстые радиальные столбики, проходящие непрерывно через ряд концентрических пластинок. На верхней поверхности видны те же радиальные столбики в виде массивных, круглого сечения бугорков. Расстояние между центрами бугорков достигает 0,85 мм.

Описание. Микроскопическое изучение тонких срезов скелета показывает, что строение его отвечает строению *Actinostroma*. В вертикальном сечении (табл. I, фиг. 1) отчетливо выступают толстые радиальные столбики, проходящие во всю толщину скелета. Толщина их достигает 0,5 мм. В строении их ясно заметны наложенные одна на другую несколько выпуклые книзу пластинки толщиной до 0,35 мм. Пластинки соседних радиальных столбиков, соединяясь между собой, образуют более тонкие концентрические пластинки. На 1 мм их приходится три или пять — на 2 мм. Расстояние между столбиками 0,25—0,35 мм. В промежутках между столбиками имеются также тончайшие известковые связки. В тангенциальном сечении (табл. I, фиг. 2) ясно выступают круглые концентрические в поперечном сечении столбики с отходящими от них ручными поддержками (arms). Число их чаще достигает восьми. Кроме того, и здесь изредка выступают те же известковые связки. Микроструктура волокон ткани — плотная.

Сравнение. Описываемый здесь впервые весьма своеобразный вид больше всего схож с *Actinostroma fenestratum*, описанным Никольсоном в его известной монографии; однако наш вид резко отличается от него значительно большей толщиной радиальных столбиков и концентрических пластинок. В радиальных столбиках не заметно каналов. С другой стороны, у *A. fenestratum* радиальные столбики сплошные, а не сложены, как у нашего вида, выпуклыми пластинками. В тангенциальном сечении его гораздо отчетливее выступают радиальные столбики и связывающие их ручные поддержки.

Некоторое сходство *A. crassum*, в особенности в вертикальном сечении, имеет с *Labechia conferta*, в той ее части, где радиальные столбики сближены (Никольсон, стр. 159, рис. 18, табл. XX, фиг. 1), но, помимо значительно большей массивности радиальных столбиков нашей формы, в ней отсутствует пузырчатая ткань между столбиками.

Описываемая здесь форма является совершенно новой и весьма своеобразной, и мы выделяем ее в новый вид — *A. crassum*.

Местонахождение. Западный Казахстан. Мугоджары. Правобережье р. Кыс-Касхан-сыр, левого притока р. Урал, у восточного края пос. Сухиновского по дороге в пос. Карабутакский. Средний девон.

Actinostroma labechiforme Riabinin

Табл. I, фиг. 3 и 4

1930. *Actinostroma labechiforme* Riab. В. Рябинин. Новые силурийские строматопороиды с р. Подкаменной Тунгуски. Тр. Геол. музея АН СССР, т. VIII, табл. I, фиг. 1—3.

Диагноз. Ценостеум имеет вид диска с вогнутой нижней поверхностью, покрытой базальной эпитечкой. Верхняя поверхность покрыта маленькими округленными бугорками. На верхней поверхности образца хорошо выделяются радиальные столбики округлой формы, а на боковой, кроме радиальных столбиков, заметны также концентрические пластинки.

Описание. Вид этот достаточно полно описан В. Н. Рябининым в приведенной выше работе. Однако автор отмечает, что вследствие плохой сохранности имевшегося у него экземпляра шлифы получились недостаточно отчетливые. Бывшие в нашем распоряжении шлифы этого вида дают более отчетливое изображение строения ценостеума. Поэтому мы приводим здесь их краткое описание.

В радиальном сечении (табл. I, фиг. 3) отчетливо наблюдаются толстые радиальные столбики (до 0,16 мм), которых на 1 мм приходится три-четыре, и тонкие (до 0,03—0,06 мм) концентрические пластинки числом пять-шесть на 1 мм.

Радиальные столбики прямые и проходят непрерывно по всей толщине экземпляра (в данном случае на 12 мм), пересекая все концентрические пластинки, каждая из которых несколько выпукла в промежутке между соседними столбиками, а местами имеются и сходящиеся пластинки.

В тангенциальном сечении (табл. I, фиг. 4) ясно выступают концы круглых радиальных столбиков в поперечном разрезе. От типичных *Actinostroma clathratum* данный вид отличается отсутствием ручных поддержек (arms) между радиальными столбиками и непрямолинейной формой своих пластинок.

Местонахождение. Северный Урал (восточный склон), р. Багаряк. Верхний силур.

Actinostroma istokense sp. nov.

Табл. I, фиг. 5, 6 и 7

Диагноз. Ценостеум этого вида пластинчатой формы, толщиной 3—4 см. На верхней поверхности слабо заметны радиальные столбики в поперечном разрезе. Астроризы из-за плохой сохранности образца не заметны. На боковой поверхности только вооруженным глазом можно различить радиальные столбики и концентрические пластинки. Латиламинарность отсутствует.

Описание. Изучение тонкого радиального среза (табл. I, фиг. 5) под микроскопом показывает, что ценостеум представляет собой сетку, образованную из горизонтальных пластинок и пересекающих их радиальных столбиков. Первые из них несколько тоньше вторых: они достигают 0,06 мм, а радиальные столбики 0,06—0,10 мм. На 1 мм помещается семь-восемь пластинок. На том же промежутке умещается шесть-

семь радиальных столбиков. Они проходят непрерывно через ряд концентрических пластинок. Ячейки прямоугольные. Среди них заметны и круглого сечения ячейки, отвечающие поперечному сечению каналов астрориз, диаметр которых достигает 0,10 мм. Местами две соседние пластинки сходятся в одну, местами же от пластинки отходит другая, образуя как бы очень пологий купол диаметром 1—1,5 мм.

При изучении тангенциального среза (табл. I, фиг. 6 и 7) наблюдаются густо расположенные точки, отвечающие поперечному сечению радиальных столбиков, звездчатого строения — с шестью—восемью отходящими от них лучами, которые отвечают так называемым ручным поддержкам (arms), характерным для представителей этого рода.

Там же видны маленькие астроризы с почти прямыми длинными, не ветвящимися каналами числом 10—12. Расстояние между центрами астрориз 7—8 мм. Они, повидимому, не наложенные.

Справление. Среди силурийских *Actinostroma* нет ни одного вида, близко схожего с описываемым здесь, поэтому его приходится выделить в новый вид.

Местонахождение. Восточный склон Урала, р. Исток — левый приток р. Синары. Верхний силур. Из этого же местонахождения нами была описана *Stromatopora discoidea* Lonsd. (1947 г., стр. 10). Коллекция Т. Зенченко.

Род *Clathrocoilona* Yavorovsky, 1931

Clathrocoilona intschererepense sp. nov.

Табл. I, фиг. 8; табл. II, фиг. 1

Диагноз. Ценостеум полуэллипсоидальной формы, в нижней его части существовал, повидимому, небольшой выступ (ножка) для прикрепления при росте колонии. Толщина верхнего края ценостеума 20 мм. Высота ценостеума 40 мм. На боковой поверхности местами, где сохранность лучше, видны мелкие астроризы и концы радиальных столбиков в виде точечных бугорков.

Описание. В радиальном сечении (табл. I, фиг. 8) наблюдаются толстые концентрические пластинки, перемежающиеся с более тонкими. Толщина первых до 0,33 мм, вторых — до 0,066 мм. Первых на 1 мм помещается две, вторых — четыре. Между пластинками, не выходя за пределы двух соседних из них, заключены радиальные столбики толщиной до 0,16 мм; на 1 мм их помещается до пяти. Имеются и более толстые (почти в два раза) столбики, и тогда их на 2 мм помещается до шести. Образованные пересечением столбиков и пластинок ячейки небольшие, овальные, чаще продолговатой формы, но имеются и почти круглые. Среди них наблюдаются ячейки более крупного размера, круглые (до 0,33 мм в диаметре) или продолговатые. Первые отвечают, видимо, каналам астрориз в поперечном их разрезе.

В тангенциальном сечении (табл. II, фиг. 1) наблюдаются окружной формы точки, в большинстве мелкие, отвечающие радиальным столбикам в их поперечном разрезе. Там же видны астроризы с густой сетью каналов, числом до 12, отходящих от центра астрориз. Астроризальные каналы деревовидно ветвящиеся. Центры соседних астрориз отстоят друг от друга на 6—7 мм. Каналы соседних астрориз переплетаются своими вершинами. Диаметр каналов у их основания до 0,33 мм. Перегородок в каналах не наблюдалось. Строение волокон ткани плотное.

Справление. Этот вид, представленный в нашей коллекции одним образцом, внешне несколько схож с описанным нами *Clathrocoilona abeona* Yavor. (1931 г.), но у последней имеются сосочки (tumelons), а астроризы ее иной формы и значительно больших размеров. Кроме

того, концентрические пластинки разделены по середине белой полоской, чего нет у данной формы, выделяемой нами в новый вид.

Местонахождение. Юго-западная окраина Кузнецкого бассейна, район д. Александровки на левом берегу р. Инчереп, в 500 м ниже устья р. Хорошей. Нижний (?) девон.

Род *Clathrodictyon* Nicholson and Muriel, 1878

Clathrodictyon variabile Riab. var. *vilvense* var. nov.

Табл. II, фиг. 2 и 3

Диагноз. Ценостеум одного из двух имевшихся в моем распоряжении экземпляров этого вида пластинчатой формы. Ценостеум второго экземпляра, видимо, полусфериальной формы, диаметром 6 см и высотой 7,5 см.

На боковой поверхности первого из них отчетливо видны даже невооруженным глазом слабо волнистые концентрические пластинки и проходящие между двумя соседними из них радиальные столбики. Рост ценостеума начинался без концентрически морщинистой эпитехи.

Описание. Изучая тонкий вертикальный срез ценостеума (табл. II, фиг. 2) под микроскопом, наблюдаем слабо волнистые концентрические пластинки толщиной 0,06—0,10 мм; на 1 мм их помещается не больше трех. Они то сближены, то несколько удалены друг от друга. Местами на небольших промежутках соседние пластинки значительно сближаются между собой; кое-где пластинки, сливаясь, дают выклинивание одной из них.

Между пластинками проходят радиальные столбики, ограничиваясь промежутком двух соседних из них. В верхней своей части, у соединения с концентрическими пластинками, они несколько утолщены, и в этой утолщенной части, в месте соединения столбиков с пластинками, в некоторых из них наблюдается раздвоение наподобие того, как это наблюдается в *Clathrodictyon striatellum*. Толщина столбиков 0,1—0,13 мм. На 1 мм их помещается четыре. Концентрические пластинки и развитые между ними радиальные столбики создают ячеистую структуру. Ячейки в своей верхней части округлой формы — за счет утолщения столбиков. Ячейки пересекаются тонкими, выпуклыми кверху известковыми перегородками.

Там, где концентрические пластинки больше удалены друг от друга, число этих перегородок доходит до трех. Благодаря тому, что некоторые из них проходят очень близко к концентрическим пластинкам, параллельно им, создается впечатление, что пластинка двойная.

В тангенциальном срезе (табл. II, фиг. 3) выступают темные, в значительном большинстве круглые точки, отвечающие поперечному разрезу радиальных столбиков. Астроризы не наблюдаются. Строение ткани плотное.

Сравнение. Данный вид достаточно резко отличается от *Cl. incisiput*, описанного нами из Южного Урала, как по строению ячеек, так и по их размерам. Он более всего схож с *Cl. variabile* Riab., описанным из верхнего девона, однако отличается от него более мелким строением ткани и значительным развитием известковых перегородок. Мы выделяем его в новый вариетет.

Местонахождение. Урал, р. Вильва, приток р. Усьвы, в 10 км выше устья р. Вижай. На этикетке, сопровождающей образцы, значится: «Верхи среднего девона».

Семейство **STROMATOPOROIDEA**

Род **Stromatopora** Goldfuss, 1826

Stromatopora Beuthii Bargatzky

Табл. II, фиг. 4 и 5

1881. *Stromatopora Beuthii* Barg. Die Stromatoporen des rheinischen Devons.
Синонимику см. Nicholson. A Mon. of the Brit. Stromatoporoids, стр. 163.

Диагноз. Ценостеум представлен пластинкой до 40 мм толщиной, при ширине и длине по 100 мм. На верхней выветрелой поверхности ясно видна даже невооруженным глазом грубая червеобразная сетчатость, среди которой отчетливо выделяются маленькие круглые точки, отвечающие радиальным столбикам в их поперечном разрезе. Там же местами выступают маленькие, сильно ветвящиеся астроризы с мелкими отверстиями в осевой их части. Расстояние между центрами астрориз 8—9 мм. Число астроризовых каналов восемь-девять. Длина их 3—3,5 мм. На боковой поверхности хорошо выделяются радиальные столбики. Их приходится пять на 2 мм. Латиламинарности не заметно.

Описание. В вертикальном разрезе (табл. II, фиг. 4) видно характерное для этого вида строение скелета. Во всю его высоту проходят радиальные прямые столбики; в средней части некоторых из них ясно заметна темная линия, отвечающая осевому каналу. Диаметр столбиков 0,25—0,30 мм. Они то весьма сближены, почти соприкасаясь, то удалены друг от друга на расстояние до 0,5 мм. На 2 мм их помещается пять. Между радиальными столбиками заключены зоидные трубы, пересеченные тонкими горизонтальными или слабо наклонными tabulae. Между сближенными столбиками помещается по одной зоидной трубке, между удаленными — по две.

В тангенциальном сечении (табл. II, фиг. 5) хорошо заметны радиальные столбики в поперечном разрезе. Они выступают в виде круглых светлых пятен с черными точками (в центре), соответствующими осевым каналам. В том же сечении видны зоидные трубы в поперечном разрезе. Они то окружной, то удлиненно-изогнутой формы. Диаметр зоидных трубок 0,07—0,16 мм. Астроризы в этом сечении отчетливо не выступают. Микроструктура волокон ткани сетчатого типа, при этом радиальные столбики с менее отчетливо выраженной сетчатой структурой и, как говорит Никольсон, удерживают свою индивидуальную особенность, не наблюдаемую в какой-либо другой из строматопор.

Сравнение. Никольсон отмечает, что наиболее близкой к этому виду является *S. Hüpschii* Barg., однако резким отличием нашей формы от этой служит наличие у *S. Beuthii* весьма характерных радиальных столбиков.

Местонахождение. Первоначально этот вид описан Баргатским из района Paffrath (Германия) из среднего девона. У нас он обнаружен впервые Л. С. Либровичем на Южном Урале — восточное подножие гряды Сачыл-Тау, южнее рудника Бакр-Узяк, в известняке среднего девона (D_2^1).

Stromatopora Hüpschii Bargatzky

Табл. II, фиг. 6 и 7; табл. III, фиг. 1, 2, 3 и 4

1881. *Caenopora Hüpschii* Barg. Die Stromatoporen des rheinischen Devons.
Синонимику см. Nicholson. A Mon. of the Brit. Stromatoporoids, стр. 176.

Диагноз. Ценостеум для шести из имевшихся в нашем распоряжении экземпляров пластинчатой формы, для двух — сфероидальной и

для одной — неправильной. Латиламинарности на боковой поверхности не заметно, но отчетливо выделяются кораллиты *Syringopora* sp., проходящие непрерывно во всю толщину ценостеума. Концентрические пластинки тоже слабо выражены. На верхней поверхности заметна червеобразная петельность. Сосочки на ней отсутствуют. Слабо заметны маленькие астроризы, расстояние между центрами которых 4—4,5 мм.

Описание. Вид этот достаточно полно описан в вышеупомянутой монографии Никольсона, но поскольку он встречен впервые в девонских отложениях Западной Сибири, мы приводим краткие сведения о нем. Вертикальный разрез (табл. II, фиг. 6; табл. III, фиг. 1 и 3) показывает очень хорошо развитые зоидные трубы различной формы и размеров. В некоторых из них сохранились днища, расположенные перпендикулярно к стенкам зоидных трубок. Эти днища в достаточной степени соответствуют днищам, показанным на табл. XXII, фиг. 3 в монографии Никольсона. Так как и на нашем рисунке нет четко выделяющихся радиальных столбиков, трудно согласиться с Никольсоном, когда он говорит, что «радиальные столбки существуют как отчетливая структура». Это правильно только для тех участков скелета, где зоидные трубы образуют вертикальные ряды, как показано на рис. В, стр. 177 той же монографии. Там, где это можно измерить, на промежутке в 2 мм помещается до шести радиальных столбиков. Таким образом, структура нашей формы несколько мельче структуры формы Никольсона.

В тангенциальном сечении (табл. II, фиг. 7; табл. III, фиг. 2 и 4) видна грубая петельность червеобразной структуры, в которой нет следов радиальных столбиков как отчетливо выделяющихся элементов. Там же видны зоидные трубы в поперечном их сечении. В большинстве они круглые. Продольные и косые сечения придают им разные очертания. Диаметр зоидных трубок 0,033—0,16 мм.

Внутренняя структура скелетных волокон ткани грубо пористая. Астроризы, очень маленькие для этого вида, в наших экземплярах распознаются в тангенциальном сечении с трудом; возможно, это зависит от наличия в них скелета *Syringopora* sp.

Как в вертикальном, так и в тангенциальном сечении хорошо выделяются *Syringopora* sp. Диаметр кораллитов 0,36 мм. Толщина стенок их всего 0,033 мм. Диаметр соединительных трубок 0,16 мм.

Местонахождение. Юго-западная окраина Кузнецкого бассейна. Правый берег р. Бачат у дер. Заречной, индюшириферовый горизонт (D_2^2). Правый берег р. Томь-Чумыша ниже Гладкого Камня (D_2^1).

Stromatopora sokolensis sp. nov.

Табл. III, фиг. 5 и 6

Диагноз. Ценостеум представляет собой несколько выпуклую, с закругленными углами пластинку толщиной 2 см при длине 9 см и ширине 7,5 см. На боковой поверхности хорошо заметны тонкие концентрические пластинки и углубления, отвечающие зоидным трубкам. На верхней поверхности слабо выделяется червеобразное строение ткани скелета. На вогнутой нижней поверхности имеется концентрически морщинистая эпитека.

Описание. В вертикальном сечении в тонком срезе (табл. III, фиг. 5) ясно выделяются радиальные пластинки и разделяющие их, в большинстве своем вытянутые в длину, зоидные трубы. Некоторые из них пересекают концентрические пластинки. Толщина пластинок 0,1—0,13 мм. Высота зоидных трубок 0,1—0,13 мм при длине 0,2—1 мм. Расположенные между зоидными трубками круглые отверстия диаметром 0,06—0,13 мм отвечают поперечному сечению каналов астрориз. В тех и других местах видны тончайшие днища.

лам
кор
риз
дел
ти_и
же
ра
би
ни
ме
си
ги

В тангенциальном сечении (табл. III, фиг. 6), при общем червеобразном строении ткани, видны черные круглые точки диаметром 0,10—0,13 мм, отвечающие радиальным столбикам; там же хорошо выделяются маленькие ветвящиеся астроризы. Расстояние между их центрами 5—6 мм.

Строение волокон ткани тонкопористое. Нарастание ее происходило на мергеле.

Сравнение. Из строматопорид, описанных из подольского силюра, с нашим видом ближе сходна *S. venukovi*, но в *S. sokolensis* зоидные трубы большего размера и несколько иной формы. Астроризы в нашем виде более густо ветвящиеся. В росте скелета отсутствует латиламинарность. Мы выделяем эту форму в новый вид.

Местонахождение. Левый берег р. Днестра у дер. Сокол. Уинлок. Коллекция П. Н. Венюкова.

Stromatopora grintschukensis sp. nov.

Табл. III, фиг. 7 и 8

Диагноз. Ценостеум представляет собой толстый цилиндр с тупой конусовидной верхушкой. Высота его 7,5 см, диаметр 6 см. Судя по хорошо сохранившемусяциальному экземпляру этой формы, начальный рост ее был пластинчатый, о чем свидетельствует небольшой шлейф в виде тонкой пластиинки у основания цилиндра. На поверхности едва заметны весьма тонкая пористость и астроризы с густо ветвящимися каналами. Расстояние между астроризами 5—6 мм.

Описание. Изучение тонкого вертикального среза ценостеума показывает, что строение его ткани ясно тонкопористое. Тончайшие поры как бы ориентируются в вертикальные и горизонтальные ряды, разделенные такими же тонкими столбиками и пластинками. На 1 мм приходится не меньше тридцати пор с разделяющими их столбиками.

В этом же срезе (табл. III, фиг. 7) выделяются зоидные трубы, чаще вытянутые в горизонтальном направлении. Диаметр их около 0,10 мм. Там же выступают астроризальные каналы в поперечном разрезе. Диаметр их отверстий 0,06 мм. В зоидных трубах, как и в астроризальных каналах, наблюдаются тончайшие поперечные днища. Толщина концентрических пластинок, разделяющих зоидные трубы, 0,05—0,10 мм.

Изучение тангенциального среза (табл. III, фиг. 8) позволяет видеть поперечное сечение радиальных столбиков и зоидных трубок. Там же хорошо выделяются густо древовидно ветвящиеся астроризы до 3 мм в диаметре с соединяющимися каналами. Расстояние между их центрами 5—6 мм. В этом же сечении отчетливо выделяются густо расположенные круглые темные точки, отвечающие поперечному сечению столбиков, разделяющих поры ткани скелета.

Сравнение. Описываемый вид ближе всего к *S. sokolensis*. Однако у данного вида строение ткани более мелкое как в отношении зоидных трубок, так и концентрических пластинок. Астроризы его более густо ветвящиеся. Этую форму (из коллекции П. Н. Венюкова) мы выделяем в новый вид.

Местонахождение. Левый берег р. Днестра у дер. Гринчук. Уинлок.

Stromatopora carteri Nich. var. *podolica* var. nov.

Табл. IV, фиг. 1 и 2

Диагноз. Ценостеум неправильной формы. На боковой поверхности более или менее ясно выделяются концентрические пластинки и хорошо заметна значительно волнистая латиламинарность. Толщина лати-

ламин 4 мм. На верхней поверхности ценостеума ясно заметны концы кораллитов *Syringopora* sp., в виде мелких круглых углублений. Астроризы отсутствуют.

Описание. Ценостеум, с точки зрения внутренней структуры, определенно сетчатого типа; концентрические пластинки выступают в вертикальном разрезе (табл. IV, фиг. 1) совершенно отчетливо, радиальные же столбики выделяются менее отчетливо, что зависит, повидимому, от расположения зоидных трубок. Пластинки до 0,17 мм толщиной, столбики 0,10—0,20 мм толщиной. Зоидные трубки то круглые, то удлиненные, то, соединяясь между собой, образуют неправильные формы. Диаметр их от 0,13 до 0,20 мм. В них имеются тонкие (до 0,03 мм), несколько выпуклые книзу днища, сохранившиеся только в очень немногих трубках.

В тангенциальном сечении (табл. IV, фиг. 2) наблюдаем поперечный разрез радиальных столбиков чаще не как отдельную структуру в виде отдельных точек, а обычно неправильной, удлиненной формы, — дающих рисунок червеобразной структуры. Там же видны зоидные трубки в поперечном разрезе.

В том и другом сечениях хорошо заметен скелет *Syringopora* sp. Кораллиты колонии то прямые, то слабо изгибающиеся. Наружный диаметр их 0,50 мм, внутренний до 0,20 мм. Соединительные трубы имеют наружный диаметр 0,20 мм и внутренний 0,13 мм. Внутренняя структура кораллитов сохранилась плохо, и только местами в них заметны воронкообразные днища. Расстояние между кораллитами 0,33—1 мм.

Сравнение. *Stromatopora carteri* N i c h. var. *podolicum* в вертикальном и тангенциальном сечениях весьма схожа с *S. carteri* N i c h., однако ближайшее их сравнение показывает, что структура последней значительно крупнее, чем у нашего вида. В то время как у первой на 2 мм помещается от пяти до семи радиальных столбиков, в нашей форме их помещается пять и притом на 1 мм. В тангенциальном сечении видно, что микроструктура волокон ткани *S. carteri* N i c h. более грубая, чем у нашей формы.

Последняя найдена в том же районе, что и описанная нами *S. carteri* (1929 г.), и отличается от нее только более мелкой структурой ткани и наличием колоний *Syringopora* sp.

Местонахождение. Город Каменец-Подольск, р. Смотрич. Верхний силур.

Stromatopora convicta sp. nov.

Табл. IV, фиг. 3, 4, 5 и 6

Диагноз. Ценостеум пластинчатой формы. Наибольший размер одного из них: 11 см толщины и 15 см длины. На боковой поверхности выделяются кораллиты сирингопор. Латиламинарность отсутствует. На верхней поверхности выступают концы кораллитов сирингопор и соединяющие их трубы; там же заметно червеобразное строение ткани. Астрориз не заметно.

Описание. О внутреннем строении скелета дает ясное представление вертикальный разрез его (табл. IV, фиг. 3 и 5), где хорошо выделяются зоидные трубы то круглые, то удлиненной формы, группирующиеся в горизонтальные и вертикальные ряды. Диаметр этих трубок 0,06—0,16 мм. Расстояние между ними, или толщина столбиков, 0,13—0,16 мм. Днища в зоидных трубках лишь изредка слабо заметны. Там же видны кораллиты *Syringopora* sp., проходящие во всю высоту скелета. Радиальные столбики как определенная структура отчетливо не выделяются. Микроструктура волокон ткани тонкопористая.

В тангенциальном сечении (табл. IV, фиг. 4 и 6) ясно выделяются зоидные трубки в поперечном разрезе. Большинство из них круглые, но имеются и удлиненные формы. Астрориз не наблюдалось. Там же видны и кораллиты *Syringopora* sp. в поперечном разрезе. Кораллиты прямые или слабо изогнутые. Наружный диаметр их 0,33—0,46 мм, внутренний 0,24—0,36 мм. Расстояние между кораллитами различно и варьирует от 0,066 до 0,60 мм. Наружный диаметр соединительных трубок до 0,20 мм. Расстояние между ними достигает 0,40—1,23 мм. Днища кораллитов то воронкообразные и образующие осевую трубку, то слабо выпуклые книзу.

Изучая вертикальные и тангенциальные сечения скелета этой формы, можно видеть, что сожительство здесь *Stromatopora* и *Syringopora* не служило препятствием для закономерного развития той и другой форм.

Местонахождение. Город Каменец-Подольск, правый берег р. Смотрич у Нового моста. Русские Фольварки, левый берег р. Смотрич. Верхний силур.

Род *Stromatoporella* Nicholson, 1886

Stromatoporella granulata Nicholson

Табл. VI, фиг. 1 и 2

1873. *Stromatoporella granulata*, Nicholson. Ann. and Mag. Nat. Hist., серия 4, том XII, стр. 94, табл. IV, фиг. 3, 3а.

1886. *Stromatoporella granulata* Nicholson. Ibid., серия 5, том XVIII, стр. 30.

1886—1892. *Stromatoporella granulata* Nicholson. Mon. Brit. Strom., стр. 202, табл. I, фиг. 4, 5, 14, 15; табл. IV, фиг. 6; табл. VII, фиг. 5, 6; табл. XXVI, фиг. 1, 3 и 4.

Диагноз. Ценостеум пластинчатой формы, толщиной до 20 мм. На верхней поверхности заметны небольшие сосочки. Астроризальных каналов, на которые указывает Никольсон, на них не заметно, возможно ввиду плохой сохранности. На боковой поверхности ясно выделяются концентрические пластинки.

Описание. Вид этот подробно описан Никольсоном в его известной монографии. Краткое описание вида приводится здесь ввиду того, что на территории СССР он встречен впервые.

В тонком срезе под микроскопом (табл. VI, фиг. 1) можно наблюдать тонкопористые скелетные волокна ткань, пронизанные сетью тонких канальчиков. Последние служат одним из признаков, отличающих *Stromatoporella* от *Stromatopora*. Концентрические пластинки, как и радиальные столбики, хорошо развиты. Развитие столбиков ограничено одним межпластинчатым промежутком. На 1 мм приходится четыре-пять концентрических пластинок.

Средней линии в пластинках, которую отмечает Никольсон в своем описании, в данном экземпляре не заметно. Наибольшее число столбиков на промежутке в 1 мм доходит до четырех. Толщина тех и других одинаковая — от 0,066 до 0,07 мм. Структура скелета довольно тонкая.

В тангенциальном сечении (табл. VI, фиг. 2) видны радиальные столбики в поперечном разрезе. Местами в промежутках между столбиками проходят тонкие известковые перегородки. Там же видны довольно многочисленные, вполне или не вполне замкнутые кольца-отверстия, проходящие в концентрических пластинках. Радиальные столбики распределены неравномерно, поэтому ячейки, образуемые пересечением этих последних с концентрическими пластинками, то удлиненной, то округлой формы; последние, видимо, отвечают поперечному сечению астроризальных каналов.

Ясных астрориз в этом сечении не наблюдалось. Их нет и на соответственных рисунках Никольсона. Они отмечаются им только на бугорках (tumelons) верхней поверхности ценостеума. Все же в описываемом нами экземпляре некоторые признаки астрориз можно наблюдать в левом верхнем углу, где видно и поперечное сечение сосочка (фиг. 2).

Местонахождение. Кузнецкий бассейн, северо-восточный склон Салаира, район д. Керлегеш, на левом берегу р. Кармак. D_2^2 — хаскотиристовый горизонт.

Семейство *IDIOSTROMIDAE* Nicholson, 1875

Род *Hermatostroma* Nicholson, 1886

Hermatostroma derzavini sp. nov.

Табл. IV, фиг. 7 и 8; табл. V, фиг. 1

Диагноз. Ценостеум окружной формы, размером не меньше 10 см в диаметре. На боковой выветрелой поверхности ясно заметны плавно волнисто изгибающиеся концентрические пластинки. Расстояние между центрами их около 0,5 мм. Расстояние между гребнями волн пластинок 10—15 мм. Там же хорошо заметны прямые, слабо веерообразно расходящиеся радиальные столбики, проходящие непрерывно через ряд концентрических пластинок. На верхней поверхности выступают концы радиальных столбиков в виде мелких бугорков. Расстояние между центрами столбиков около 0,3 мм.

Описание. Вертикальное сечение (табл. IV, фиг. 7) показывает внутреннее строение ценостеума. Там ясно наблюдаются радиальные столбики и концентрические пластинки. Первые непрерывно пересекают последние на значительном протяжении. На 2 мм помещается пять-семь радиальных столбиков. На том же промежутке помещаются три, реже четыре концентрические пластинки. Толщина столбиков 0,13 мм, пластинок 0,10 мм. В некоторых столбиках можно заметить осевые каналы. В межпластинчатых промежутках — в ячейках — местами наблюдаются тонкие выпуклые известковые перегородки, расположенные чаще диагонально.

В тангенциальном сечении (табл. IV, фиг. 8; табл. V, фиг. 1) наблюдаются радиальные столбики в поперечном разрезе в виде точек. Они стоят то обособленно, то соединены тонкими связками, дающими очертание четырехугольников, и в этом положении весьма схожи с arms у *Actinostroma* sp. Астрориз не наблюдалось. Строение ткани точечное и грубопористое. Все это, как и строение ткани скелета, указывает на необходимость отнесения данной формы к *Hermatostroma*.

Местонахождение. Юго-западная окраина Кузнецкого бассейна, левый берег р. КарагЧумыш, в 4 км к югу от д. Смышляево. D_2^1 .

Hermatostroma episcopale Nich. var. *talovense* var. nov.

Табл. V, фиг. 2, 3 и 4

Диагноз. Ценостеум, видимо, массивный. На верхней поверхности прекрасно развиты довольно плоские с широким основанием сосочки (tumelons) высотой около 4 мм; расстояние между их центрами 12—13 мм. Астроризы хорошо развиты. Длина каналов астрориз до 6 мм. Диаметр их каналов до 0,35 мм. Присутствие сосочек делает строение пластинок волнистым.

Описание. Вид этот заслуживает описания как впервые найденный не только в девоне юго-западной окраины Кузнецкого бассейна, но и вообще в девоне СССР. В вертикальном сечении (табл. V, фиг. 2)

резко выступает строение скелета, сложенного концентрическими пластинками и пересекающими их радиальными столбиками непрерывного типа. На 2 мм помещается до семи радиальных столбиков. Концентрических пластинок на том же промежутке помещается пять-шесть. В тех и других в виде черной линии ясно выделяются осевые каналы толщиной около 0,033 мм . Толщина волокон ткани около 0,13 мм . Они тонкопористы. В этом же сечении видно, что межпластинчатые промежутки пересечены одной-тремя известковыми горизонтальными или слабо выпуклыми кверху перегородками. Там же можно наблюдать и круглые отверстия диаметром до 0,33 мм , отвечающие поперечному сечению астроризальных каналов.

В тангенциальном сечении (табл. V, фиг. 3 и 4) видны то окружной, то продолговатой формы радиальные столбики, местами образующие червеобразную структуру с черными точками в центре, отвечающими осевым каналам. Здесь ясно выступают небольшие астроризы с центральным каналом. Астроризы наложенные. Диаметр их центрального канала 0,5 мм . Волокна ткани тонкопористые.

Сравнение. От *H. schlüteri* наш вид отличается большей тонкопористостью волокон ткани; кроме того, в нем хорошо развиты астроризы.

Ближе всего наш вид стоит к *H. episcopale* Nich., описанному Никольсоном подробно в его монографии, а также кратко нами из девона Герольштейна (1931 г.). Число концентрических пластинок и радиальных столбиков на промежутке в 2 мм у них одинаковое. Однако расстояние между центрами астрориз у нашего вида 12—13 мм , тогда как у *H. episcopale* 7—10 мм . Осевые каналы, четко выступающие в нашем виде в радиальных столбиках и мало заметные в концентрических пластинках, у *H. episcopale* резко выступают и в этих последних.

В своем описании данного вида Никольсон не дает изображения астрориз. Все это заставляет наш вид выделить в новый вариетет *H. episcopale*.

Местонахождение. Юго-западная окраина Кузнецкого бассейна, в районе д. Таловой. D_2^2 .

Род *Idiostroma* Winchell, 1877

Idiostroma elegans sp. nov.

Табл. V, фиг. 5, 6 и 7

Диагноз. Ценостеум конической, несколько сплюснутой формы с уплощенной вершиной. Высота его 75 мм . Диаметры основания, имеющего эллипсоидальную форму: меньшего 55 мм и большего 75 мм . Имела ли концентрически-морщинистая эпитека, сказать нельзя, так как экземпляр не цельный — у него сколото основание. Вся поверхность покрыта мелкими остроконечными сосочками (tumelons). Расстояние между центрами ближайших из них 3—5 мм . На вершинах некоторых сосочеков ясно заметны отверстия осевого канала (табл. V, фиг. 7). На поверхности сосочеков астроризы отсутствуют. Высота сосочеков 1—1,5 мм .

Описание. Внутреннее строение ценостеума весьма оригинально. В радиальном сечении (табл. V, фиг. 5 и 6) отчетливо наблюдаются довольно толстые (до 0,20 мм) радиальные столбики, проходящие через ряд тонких (до 0,33 мм), волнисто изогнутых концентрических пластинок. Число столбиков обычно 3—4, занимают промежуток в 1 мм . На таком же промежутке помещается от пяти до шести концентрических пластинок. В промежутке между столбиками и пластинками наблюдаются зоидные трубки. Они окружной, чаще овальной или удлиненной формы, располагаются вертикальными рядами. Там, где концентриче-

ские пластинки сближены, они пересекают зоидные трубы; там же, где концентрические пластинки более удалены друг от друга, зоидные трубы снабжены *tabulae*, чаще кверху выпуклыми. В этом же сечении видно, что сосочки снабжены широким (до 0,25—0,33 мм) центральным каналом, разветвляющимся в нижней своей части, где он, видимо, переходит в очень маленькие астроризы. Канал этот и отходящие от него боковые каналы снабжены выпуклыми кверху днищами, неравномерно расположеннымными. На 1 мм их помещается до пяти.

В тангенциальном сечении (табл. V, фиг. 7), наряду с зоидными трубками в поперечном разрезе, видны сосочки, тоже в поперечном разрезе. Расстояние между центрами этих последних 3—5 мм. В центре сосочков виден канал в поперечном разрезе. Концентрические пластинки здесь несколько сближены, и на 1 мм их приходится до семи. В другом, параллельном этому тангенциальному сечению видны, кроме зоидных трубок, небольшие каналы, повидимому отвечающие астроризальным. В этом же сечении наблюдается структура, слабо напоминающая червеобразную. Астроризы, видимо, очень маленькие и поэтому в данном сечении не выделяются, располагаясь, вероятно, в другой плоскости под углом 15—20° к плоскости данного сечения. Строение волокон ткани грубо пористое.

Среди описанных в литературе до настоящего времени *Stromatoporoidea* нет ни одного, с которым был бы близко схож описываемый здесь вид. Отдаленное сходство, чисто внешнее, можно отметить только с *Idiostroma aculatum* Nich. по ее изображению на табл. XXIX, фиг. 9, в целом же вид этот резко отличается от нашего. Мы выделяем его в новый вид.

Местонахождение. На этикетке, переданной мне Н. И. Куликом из коллекции АН СССР вместе с образцом, значится: «v. Paffrath bei Cöln. Koll. A. Krantz» (д. Паффрат около Кельна). Девонский известняк.

Л И
М Е

ТАБ
РАСПРОСТРАНЕНИЯ ПАЛЕОЗОЙСКИХ И

Наименование	Сибирь				Эстония				Печорский край			
	S ₂	Саяны	S ₂	Подолья	S ₂	Ферганская котловина	D ₂	D ₃	S ₂	D ₂	D ₃	Ленинградская обл.
<i>Actinostroma astroites</i> Rosen . . .						+						
<i>Actinostroma cf. astroites</i> Rosen . . .			+	+								
<i>Actinostroma podolicum</i> Yavor. . .			+	+								
<i>Actinostroma intermedium</i> Yavor. . .		+	+	+								+
<i>Actinostroma pexisum</i> Yavor. . .												
<i>Actinostroma labechiforme</i> Riab. . .												
<i>Actinostroma cf. labechiforme</i> Riab. . .												
<i>Actinostroma soshkini</i> Riab. . .												+
<i>Actinostroma ferganense</i> Riab. . .												
<i>Actinostroma furcatipilosum</i> Gorsky . . .												
<i>Actinostroma clathratum</i> Nich. . .												
<i>Actinostroma dobrolubovi</i> Riab. . .												
<i>Actinostroma yavorskyi</i> Riab. . .												
<i>Actinostroma contortum</i> Gorsky . . .												
<i>Actinostroma salairicum</i> Yavor. . .												
<i>Actinostroma hebbornense</i> Nich. . .												
<i>Actinostroma bifarium</i> Nich. . .												
<i>Actinostroma timanicum</i> Riab. . .												
<i>Actinostroma verrucosum</i> Goldf. . .												
<i>Actinostroma cf. verrucosum</i> Goldf. . .												
<i>Actinostroma irregularе</i> Nich. . .												
<i>Actinostroma stellulatum</i> Nich. . .												
<i>Actinostroma aff. perspicuum</i> Posta . . .												
<i>Actinostroma mamontovi</i> Yavor. . .												
<i>Actinostroma uralicum</i> Yavor. . .												
<i>Actinostroma crassum</i> Yavor. . .												
<i>Actinostroma intertextum</i> Nich. . .					+							
<i>Actinostroma istokense</i> Yavor. . .												
<i>Actinostroma cf. intermedium</i> Yavor. . .												+
<i>Actinostroma trautscholdi</i> Riab. . .												+

Л И Ц Ы
МЕЗОЗОЙСКИХ СТРОМАТОПОРОИДЕЙ

Приложение 1

Тиман и Новая Земля			Урал			С.-В. склон Салаира			Средняя Азия			Казах- стан			Во- сточ- ная Сибирь			Мугоджары			Тунгусский бассейн			Ю.-з. окраина Кузбасса			А л т а й			
S ₂	D ₃	C ₁ (?)	S ₂	D ₂	D ₃	S ₂	S ₂	D ₂	D ₃	S ₂	D ₃	S ₂	D ₂	D ₃	S ₂	D ₂	D ₃	S ₂	Tунгусский ярус	Эйделевский ярус	Хаскотирисов. гориз.	Индостп. гориз.	Франсий ярус	Фаненский ярус	D ₂	D ₃				
+	+	+	+	+	+	+	+	+	+	+	+	+	+	+	+	+	+	+	+	+	+	+	+	+	+	+	+	+	+	+

Наименование

	Cm ₂	Саяны	S ₂	Подолия	S ₂	Таймыр	S ₂	Ферганская котловина	Эстония	бортгольмские слои	зона с Pentam. estonus	верхнезельские слои	D ₂	D ₃	S ₂	D ₂	D ₃	Ленинградская обл.	Печорский край	
<i>Actinostroma nikiforovae</i> Yavor.		+																		
<i>Gerronostroma elegans</i> Yavor.																				
<i>Gerronostroma concentrica</i> Yavor.																				
<i>Gerronostroma batschatiensis</i> Yavor.																				
<i>Gerronostroma</i> cf. <i>batschatiense</i> Yavor.																				
<i>Clathrocoilona abeona</i> Yavor.																			+	
<i>Clathrocoilona intscherepense</i> Yavor.		+	+																	
<i>Clathrodictyon sajanicum</i> Yavor.		+	+																	
<i>Clathrodictyon abacanicum</i> Yavor.			+																	
<i>Clathrodictyon regulare</i> Rosen			+																	
<i>Clathrodictyon regulare</i> Rosen var. Yavor.			+																	
<i>Clathrodictyon fastigiatum</i> Nich.																			+	
<i>Clathrodictyon salairicum</i> Yavor.																				
<i>Clathrodictyon striatellum</i> d'Orb.																				
<i>Clathrodictyon vesiculosum</i> N.a.M.																				
<i>Clathrodictyon variolare</i> Rosen			+																	
<i>Clathrodictyon batschatiense</i> Yavor.																			+	
<i>Clathrodictyon variolare</i> Ros. var. Yavor.																				
<i>Clathrodictyon convictum</i> Yavor.																				+
<i>Clathrodictyon vesiculosum</i> var. <i>lopatini</i> Riab.																				
<i>Clathrodictyon vesiculosum</i> var. <i>minutum</i> Parks																			+	
<i>Clathrodictyon vesiculosum</i> var. <i>laminatum</i> Riab.																				
<i>Clathrodictyon variolare</i> Ros. var. <i>vaigat-schense</i> Yavor.																				
<i>Clathrodictyon pseudofastigiatum</i> Riab.																				
<i>Clathrodictyon</i> cf. <i>rectum</i> Parks																				
<i>Clathrodictyon chandygense</i> Riab.																				
<i>Clathrodictyon cylindriforme</i> Riab.																			+	
<i>Clathrodictyon kirgisicum</i> Riab.																				
<i>Clathrodictyon tschernovi</i> Riab.																			+	
<i>Clathrodictyon parksi</i> Riab.																			+	
<i>Clathrodictyon</i> ex gr. <i>cystosum</i> Riab.																				

Тиман и Новая Земля			Урал				С.-В. склон Саянга		Средняя Азия				Казах- стан		Во- сточ- ная Сибирь		Мугоджары		Тунгусский бассейн		Ю.-з. окраина Кузбасса										
S ₂	D ₃	C ₁ (?)	S ₂	D ₂	D ₃	S ₂	D ₂	D ₃	S ₂	D ₃	S ₂	D ₃	S ₂	D ₂	D ₃	S ₂	D ₃	S ₂	+	+	+	+	+	+	+	+	+	D ₃	D ₂	A л т а й	Боренская обл.
+	+	+	+	+	+	+	+	+	+	+	+	+	+	+	+	+	+	+	+	+	+	+	+	+	+	+	+	+	+	+	

Наименование

	Cm ₂	С а я н ы	S ₂	П о д о л и я	S ₂	Т а й м ы р	S ₂	Ф е р г а н с к а я к о т о в и на	Эстония	б о р к о льм с к ие с л о и	з о н а с P e n t a m . e s t o n u s	в е р х н е з е л ъ с к ие с л о и	D ₂	D ₃	S ₂	D ₂	D ₃	Л е н и н г р а д с к а я обл.	Печорский край	
<i>Clathrodictyon pseudoregulare</i> Riab.																			+	
<i>Clathrodictyon kyssunienae</i> Riab.																			+	+
<i>Clathrodictyon uniense</i> Riab.																			+	
<i>Clathrodictyon turanicum</i> Riab.																			+	
<i>Clathrodictyon cf. kirgisicum</i> Riab.																			+	
<i>Clathrodictyon cf. regulare</i> Ros.																				
<i>Clathrodictyon ex gr. striatellum</i> d'Orb.																				
<i>Clathrodictyon praetenerum</i> Yavor.																				
<i>Clathrodictyon pseudostriatellum</i> Yavor.																				
<i>Clathrodictyon tschussovense</i> Yavor.																				
<i>Clathrodictyon katavense</i> Yavor.																				
<i>Clathrodictyon incubonum</i> Yavor.																				
<i>Clathrodictyon variabile</i> Riab. var. <i>vilvense</i> Yavor.																				
<i>Clathrodictyon rectum</i> Parks																				
<i>Clathrodictyon columnare</i> Nich.																				
<i>Clathrodictyon variabile</i> Riab.																				
<i>Clathrodictyon yavorskyi</i> Riab.																			+	
<i>Clathrodictyon regulare</i> var. <i>uralicum</i> Riab.																			+	
<i>Clathrodictyon cf. praetenerum</i> Yavor.																			+	
<i>Clathrodictyon yakovlevi</i> Riab.																			+	
<i>Clathrodictyon cf. socium</i> Pocta																			+	
<i>Clathrodictyon tuberculatum</i> Riab.																			+	
<i>Clathrodictyon actinostromiforme</i> Riab.																			+	
<i>Clathrodictyon pseudocolumnare</i> Riab.																			+	
<i>Clathrodictyon regulare</i> var. <i>carnicum</i> Vin.																			+	
<i>Actinodictyon neptuni</i> Parks																			+	
<i>Labechia variabilis</i> Riab.																			+	
<i>Labechia compacta</i> Gorsky																			+	
<i>Labechia recessa</i> Gorsky																			+	
<i>Labechia densa</i> Gorsky																			+	
<i>Labechia polaris</i> Gorsky																			+	
<i>Labechia pskovensis</i> Riab.																			+	
<i>Labechia geometrica</i> Sol.																			+	

Тиман и Новая Земля			Урал			С.-В. склон Саянра			Средняя Азия			Казах- стан			Во- сточ- ная Сибирь			Мугоджары			Тунгусский бассейн			Ю.-з. окраина Кузбасса		
S ₂	D ₃	C ₁ (?)	S ₂	D ₂	D ₃	S ₂	S ₂	D ₂	D ₃	S ₂	D ₃	S ₂	D ₃	S ₂	D ₂	D ₃	S ₂	D ₂	D ₃	S ₂	Алтай	D ₂	D ₃			
+	+	+	+	+	+	+	+	+	+	+	+	+	+	+	+	+	+	+	+	+	+	+	+	+	+	+

Наименование

Наименование	Сибирь			Саяны			Полоцкая			Таймыр			Ферганская котловина			Эстония			Ленинградская обл.			Печорский край		
	Cm ₂	S ₂	S ₂	S ₂	S ₂	D ₂	D ₃	S ₂	D ₂	D ₃														
<i>Labechia devonica</i> Riab.	+
<i>Labechia stilophora</i> Nich.	+
<i>Labechia mugodjarica</i> Yavor.	+
<i>Labechia obrouchevi</i> Riab.	+
<i>Labechia yakovlevi</i> Riab.	+
<i>Labechia katangensis</i> Riab.	+
<i>Labechia macrostylophora</i> Riab.	+
<i>Labechia regularis</i> Riab.	+
<i>Stylostroma crassum</i> Gorsky	+
<i>Stylostroma ramosum</i> Gorsky	+
<i>Stylostroma ramosum</i> var. <i>aequivesiculosa</i> Gorsky	+
<i>Stylostroma imperceptum</i> Gorsky	+
<i>Stromatocerium eximium</i> Gorsky	+
<i>Rosenella miniarensis</i> Riab.	++
<i>Rosenella normalis</i> Riab.	++
<i>Rosenella labechioides</i> Gorsky	++
<i>Rosenella latevesiculosa</i> Gorsky	++
<i>Rosenella plativesiculosa</i> Gorsky	++
<i>Beatricea tenuitextilis</i> Yavor.	++
<i>Beatricea telpensis</i> Riab.	++
<i>Stromatopora typica</i> Rosen.	++
<i>Stromatopora carteri</i> Nich.	++
<i>Stromatopora carteri</i> Nich. var. <i>podotica</i> Yavor.	++
<i>Stromatopora lamellosa</i> Yavor.	++
<i>Stromatopora tuberculata</i> Yavor.	++
<i>Stromatopora venukovi</i> Yavor.	++
<i>Stromatopora uralica</i> Riab.	++
<i>Stromatopora conica</i> Riab.	++
<i>Stromatopora uniensis</i> Riab.	++
<i>Stromatopora elegans</i> Riab.	++
<i>Stromatopora concentrica</i> Goldf.	++
<i>Stromatopora vogulica</i> Riab.	++

Тиман и Новая Земля			Урал			С.-в. склон Салаира			Средняя Азия			Казахстан			Восточная Сибирь			Мугоджары			Тунгусский бассейн			Ю.-з. окраина Кузбасса					
S ₂	D ₃	C ₁ (?)	S ₂	D ₂	D ₃	S ₂	S ₂	D ₂	D ₃	S ₂	D ₃	S ₂	D ₂	D ₃	S ₂	D ₂	D ₃	S ₂	D ₂	D ₃	Эйфельский ярус	хаскотирос. гориз.	индол. гориз.	ранний ярус	фаменский ярус	A л т а й	D ₂	D ₃	Воронежская обл.
+	+	+	+	+	+	+	+	+	+	+	+	+	+	+	+	+	+	+	+	+	+	+	+	+	+	+	+	+	+

Наименование

	Cm ₂	S ₁	S ₂	S ₃	Tаймыр	S ₂	Ферганская котловина		Эстония		Печорский край		Ленинградская обл.			
	Саяны	Подолия	Таймыр			S ₂	борткельмские слои	зона с Rentina, estonus	верхнезельские слои		D ₂	D ₃	S ₂	D ₂	D ₃	
<i>Stromatopora glychensis</i> Riab.															+	
<i>Stromatopora varssanofievi</i> Riab.															+	
<i>Stromatopora typica</i> var. <i>cylindrica</i> Riab.															+	
<i>Stromatopora microlaminata</i> Riab.															+	
<i>Stromatopora spheroidalis</i> Riab.																
<i>Stromatopora Hüpschii</i> Barg.																
<i>Stromatopora grintschukensis</i> Yavor.								+								
<i>Stromatopora Beuthii</i> Barg.																
<i>Stromatopora cf. microlaminata</i> Riab.															+	
<i>Stromatopora miniarensis</i> Riab.															+	
<i>Stromatopora aff. undata</i> Riab.															+	
<i>Stromatopora longitubulata</i> Riab.															+	
<i>Stromatopora kudbensis</i> Riab.															+	
<i>Stromatopora microtuberculata</i> Riab.															+	
<i>Stromatopora schelonensis</i> Riab.															+	
<i>Stromatopora alaica</i> Riab.																
<i>Stromatopora cf. busheliensis</i> var. <i>digitata</i> Nich.																
<i>Stromatopora sokolensis</i> Yavor.								+								
<i>Stromatopora undata</i> Riab.															+	
<i>Stromatopora kolymensis</i> Riab.																
<i>Stromatopora sibirica</i> Riab.																
<i>Stromatopora cf. discoidea</i> Lonsd.																
<i>Stromatopora discoidea</i> Lonsd.															+	
<i>Stromatopora angulata</i> Yavor.																
<i>Stromatopora tyrganica</i> Yavor.																
<i>Stromatopora derzavini</i> Yavor.																
<i>Stromatopora kirgisica</i> Yavor.																
<i>Stromatopora convicta</i> Yavor.								+								
<i>Stromatoporella loutougini</i> Yavor.																
<i>Stromatoporella sniatkovi</i> Yavor.																
<i>Stromatoporella pankratovi</i> Yavor.																
<i>Stromatoporella yegorovi</i> Yavor.																

Тиман и Новая Земля			Урал			C.-в. склон Салаира	Средняя Азия			Казах- стан			Во- сточ- ная Сибирь			Мугоджары			Ю.-з. окраина Кузбасса							
S ₂	D ₃	C ₁ (?)	S ₂	D ₂	D ₃	S ₂	S ₂	D ₂	D ₃	S ₂	D ₃	S ₂	D ₂	D ₃	S ₂	D ₂	D ₃	S ₂	Тунгусский бассейн	Эйфельский ярус	Хаскотирисов. гориз.	Индост. гориз.	Францкий ярус	Фаменский ярус	A л т а й	Воронежская обл.
+	+	+																								
			+																							
				+																						
					+																					
						+																				
							+																			
								+																		
									+																	
										+																
											+															
												+														
													+													
														+												
															+											
																+										
																	+									
																		+								
																			+							
																				+						
																					+					
																						+				
																							+			
																								+		
																									+	
																										+

Наименование

	Сп2	С а я ны	S ₂	П о д о л и я	S ₂	Т а й м ы р	S ₂	Ферганская котловина боргойльские слои	Эстония зона с Pental. estonus верхнезельские слои	D ₂	D ₃	S ₂	D ₂	D ₃	Печорский край	
<i>Stromatoporella turensis</i> Yavor.
<i>Stromatoporella convicta</i> Yavor.
<i>Stromatoporella tchernyschevi</i> Yavor.
<i>Stromatoporella boutovi</i> Yavor.
<i>Stromatoporella tyrganensis</i> Yavor.
<i>Stromatoporella batschatensis</i> Yavor.
<i>Stromatoporella voltschensis</i> Yavor.
<i>Stromatoporella kuznetskiensis</i> Yavor.
<i>Stromatoporella tchernyschevi</i> var. <i>kostenkoensis</i> Yavor.
<i>Stromatoporella regularis</i> Yavor.
<i>Stromatoporella chomutinkensis</i> Yavor.
<i>Stromatoporella insolita</i> Yavor.
<i>Stromatoporella gapeevi</i> Yavor.
<i>Stromatoporella abensis</i> Yavor.
<i>Stromatoporella undata</i> Yavor.
<i>Stromatoporella devonica</i> Yavor.
<i>Stromatoporella solitaria</i> Nich.
<i>Stromatoporella mamelosa</i> Yavor.
<i>Stromatoporella basilei</i> Yavor.
<i>Stromatoporella ussowi</i> Yavor.
<i>Stromatoporella kumpani</i> Yavor.
<i>Stromatoporella karpinskyi</i> Yavor.
<i>Stromatoporella granulata</i> Nich.
<i>Parallelopora socialis</i> Riab.
<i>Parallelopora heckeri</i> Riab.
<i>Parallelopora capitata</i> Goldf.
<i>Parallelopora cf. dortingtonensis</i> Carter
<i>Parallelopora volensis</i> Riab.
<i>Parallelopora parva</i> Riab.
<i>Syringostroma tschichatschevi</i> Yavor.
<i>Syringostroma fedorovi</i> Yavor.
<i>Syringostroma cf. fedorovi</i> Yavor.

Тиман и Новая Земля			Урал			С.-в. склон Саяна			Средняя Азия			Казах- стан			Во- сточ- ная Сибирь			Мугоджары			Тунгусский бассейн			Ю.-з. окраина Кузбасса				
S ₂	D ₃	C ₁ (?)	S ₂	D ₂	D ₃	S ₂	S ₂	S ₂	S ₂	D ₂	D ₃	S ₂	D ₃	S ₂	D ₂	D ₃	S ₂	D ₂	D ₃	S ₂	Эйфельский ярус	Хаскотрисов., гориз.	Индос., гориз.	Франский ярус	Фаменский ярус	А л т а й	Воронежская обл.	
+																						+						

Наименование

	C _{mp} S ₂	Саяны	Подолия S ₂	Таймыр S ₂	Ферганская котловина бортгольмские слои зона с Pentam. estonus	Эстония верхнезельские слои	Ленинградская обл. D ₂	D ₃	S ₂	D ₂	D ₃	Печорский край
<i>Syringostroma geba</i> Yavor.
<i>Syringostroma strahlenbergi</i> Yavor.
<i>Syringostroma weberi</i> Riab.
<i>Syringostroma centrotum</i> Girty var. <i>kirgisica</i> Yavor.
<i>Hermatostroma sibirica</i> Yavor.
<i>Hermatostroma dolica</i> Yavor.
<i>Hermatostroma episcopale</i> Nich. var. <i>talovense</i> Yavor.
<i>Hermatostroma derzavini</i> Yavor.
<i>Amphipora ramosa</i> Phill.
<i>Amphipora ramosa</i> var. <i>minor</i> Riab.
<i>Amphipora</i> cf. <i>socialis</i> Rom.
<i>Amphipora patokensis</i> var. <i>minor</i> Riab.	+	.	.	.
<i>Amphipora patokensis</i> Riab.	+	+	+	.

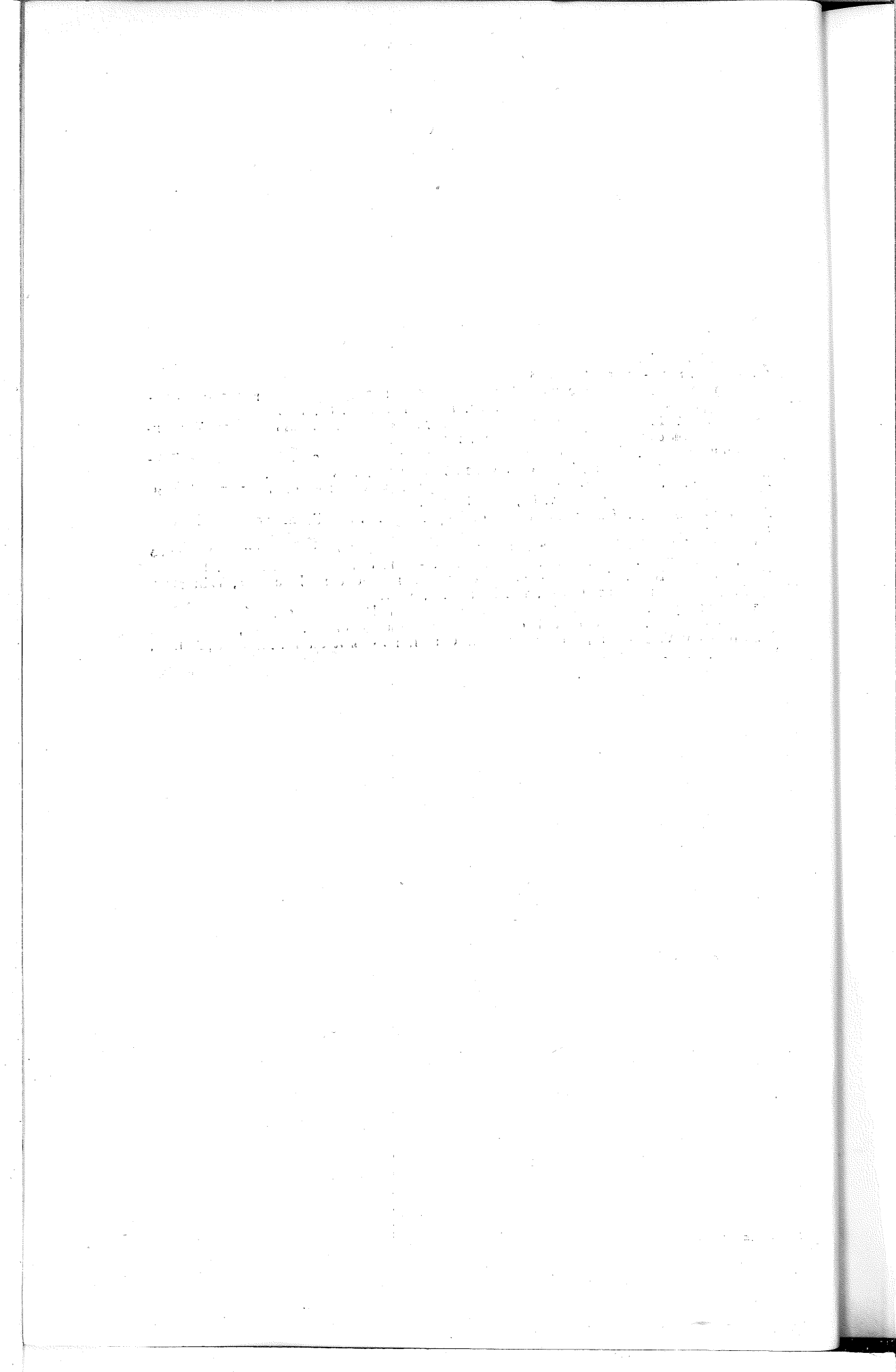
Тиман и Новая Земля			Урал			С.-В. склон Салаира			Средняя Азия			Казах- стан			Во- сточ- ная Сибирь			М у г о д ж а р ы			Ю.-з. окраина Кузбасса			Воронежская обл.					
S ₂	D ₃	C ₁ (?)	S ₂	D ₂	D ₂	S ₂	D ₂	D ₃	S ₂	D ₃	D ₂	S ₂	D ₃	D ₂	D ₂	D ₃	S ₂	D ₃	S ₂	Тунгусский бассейн	Эйфельский ярус	Хаскотирсов, гориз.	Индсп. гориз.	Франский ярус	Фаменский ярус	D ₂	A л т а й	D ₃	
+			+				+														+								
			+					+																					
				+					+																				
					+					+																			
						+					+																		
							+					+																	
								+					+																
									+					+															
										+					+														
											+					+													
												+					+												
													+					+											
														+					+										
															+					+									
																+													
																	+												
																		+											
																			+										
																				+									
																					+								
																						+							
																							+						
																								+					
																									+				
																										+			
																											+		
																												+	
																													+

Приложение 2

Наименование	Крым		Кавказ	
	J ₃	Cr ₁	(Триас)	Cr ₁
<i>Actinostromaria yvonnei</i> Yavor.	+			
<i>Actinostromaria weberi</i> (Pfeil.) Yavor.	+			
<i>Actinostromaria androussovi</i> Yavor.	+			
<i>Actinostromaria varuma</i> Yavor.	+			
<i>Actinostromaria peclinzevi</i> Yavor.	+			
<i>Actinostromaria peculiaris</i> Yavor.	+			
<i>Actinostromaria taurica</i> Yavor.	+			
<i>Actinostromaria vogdti</i> Yavor.	+			
<i>Actinostromaria pavlovi</i> Yavor.	+			
<i>Stromatopora tamanica</i> Yavor.	+			
<i>Stromatopora riabinini</i> Yavor.	+			
<i>Stromatopora pontica</i> Yavor.	+			
<i>Stromatopora (Parastromatopora) renngarteni</i> Yavor.				+
<i>Stromatopora (Parastromatopora) helminthoidea</i> Yavor.	+			
<i>Crimestroma borissaki</i> Yavor.	+			
<i>Tauripora astroites</i> Yavor.	+			
<i>Desmopora listrigonorum</i> Yavor.	+			
<i>Cerkessia robinsoni</i> Mois.			+	
<i>Circopora caucasica</i> Mois.			+	
<i>Tosastroma jurassica</i> Yavor.	+			
<i>Tosastroma karasssuense</i> Yavor.	+			
<i>Millepora iphigeniae</i> Yavor.	+			
<i>Millepora iphigeniae</i> var. <i>barremica</i> Yavor.				+
<i>Millepora coilona</i> Yavor.	+			
<i>Millepora solomkoana</i> Yavor.	+			
<i>Millepora kabardinense</i> Yavor.				+
<i>Millepora kabardinense</i> var. <i>borremicum</i> Yavor.				+
<i>Milleporidium gertrudae</i> Yavor.	+			
<i>Milleporidium multitabulatum</i> Yavor.	+			
<i>Milleporidium cylindricum</i> Yavor.	+			

ЛИТЕРАТУРА

- Горский И. И. Некоторые Stromatoporoidea из палеозойских отложений Новой Земли. Тр. Аркт. ин-та, т. 101, 1938.
- Лазуткин П. С. Верхнесилурийские брахиоподы остракодового горизонта юго-западной окраины Кузнецкого бассейна. Тр. ЦНИГРИ, вып. 80, 1936.
- Петц Г. Г. Материалы к познанию фауны девонских отложений окраин Кузнецкого угленосного бассейна. Тр. геол. части, вып. IV, 1901.
- Рябинин В. Н. Новые силурийские строматопороиды с р. Подкаменной Тунгуски (Красноярский округ). Тр. Геол. музея АН СССР, т. VIII, 1930.
- Халфин Л. Л. Fauna и стратиграфия девонских отложений Горного Алтая. Изв. Томского политехн. ин-та, т. 65, вып. I, 1948.
- Яворский В. И. Силурийские Stromatoporoidea. Изв. Геол. ком., т. XLVIII, № 1, 1929.
- Яворский В. И. Некоторые девонские Stromatoporoidea из окраин Кузнецкого бассейна, Урала и др. мест. Изв. Всесоюзн. геол.-разв. объед., т. L, вып. 94, 1931.
- Яворский В. И. Некоторые палеозойские и мезозойские Hydrozoa, Tabulata и Algae. Моногр. по палеонт. СССР, т. XX, вып. 1, 1947.
- Bargatzky A. Die Stromatoporen des rheinischen Devons. Bonn, 1881.
- Nicholson H. A Monograph of the British Stromatoporoids. London, 1886—1892.
- Yavorsky V. Ein Stromatoporenfund im Cambrium. Centralblatt f. Min. etc., Abt. B., № 12, Jahrg. 1932.



**ТАБЛИЦЫ
СТРОМАТОПОРОИДЕЙ**

ТАБЛИЦА I

- | | |
|---------|--|
| Фиг. 1. | <i>Actinostroma crassum</i> sp. nov. Голотип. Верти-
кальный разрез. |
| Фиг. 2. | То же. Тангенциальный разрез. |
| Фиг. 3. | <i>Actinostroma labechiiiforme</i> Ria b. Паратип. Верти-
кальный разрез. |
| Фиг. 4. | То же. Тангенциальный разрез. |
| Фиг. 5. | <i>Actinostroma istokense</i> sp. nov. Голотип. Верти-
кальный разрез. |
| Фиг. 6. | То же. Тангенциальный разрез. |
| Фиг. 7. | То же. Тангенциальный разрез того же образца. |
| Фиг. 8. | <i>Clathrocoilona intscherepense</i> sp. nov. Голотип.
Вертикальный разрез. |

ТАБЛИЦА I

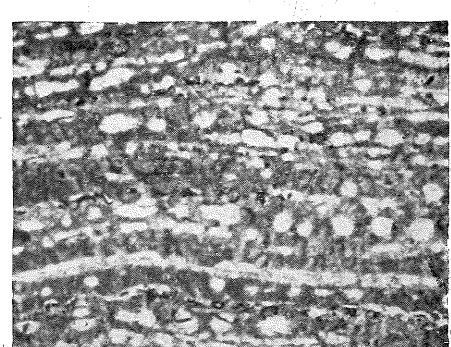
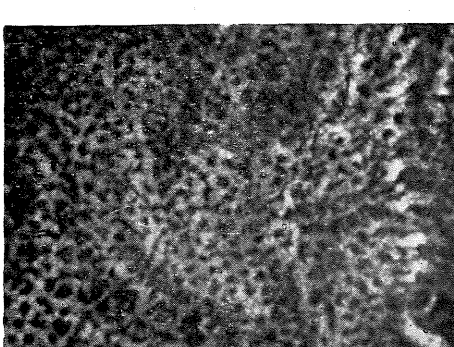
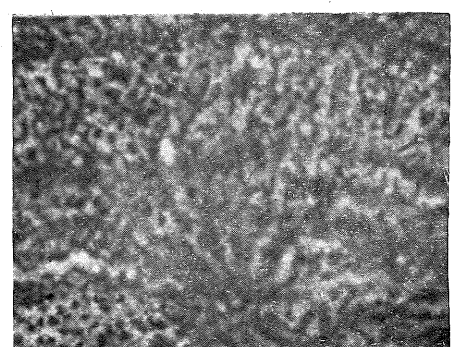
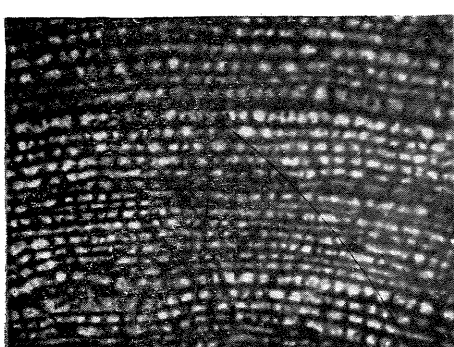
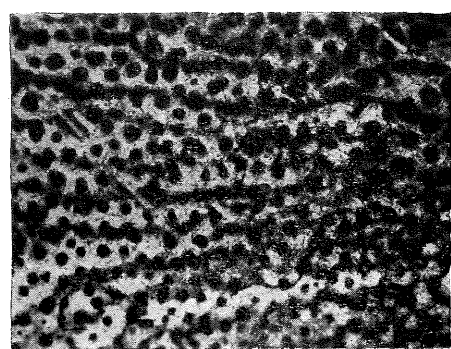
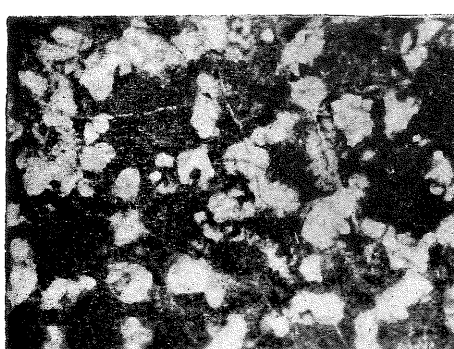
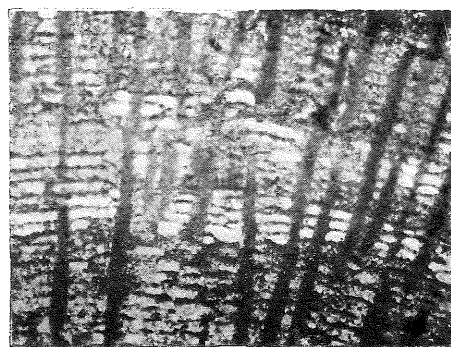
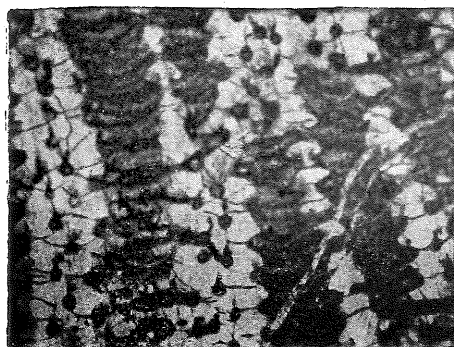


ТАБЛИЦА II

- Фиг. 1. *Clathrocoilona intscherepense* sp. nov. Тангенциальный разрез.
- Фиг. 2. *Clathrodictyon variabile* Ria b. var. *vilvense* var. nov. Голотип. Вертикальный разрез.
- Фиг. 3. То же. Тангенциальный разрез.
- Фиг. 4. *Stromatopora Beuthii* Barg. Паратип. Вертикальный разрез.
- Фиг. 5. То же. Тангенциальный разрез.
- Фиг. 6. *Stromatopora Hüpschii* Barg. Паратип. Вертикальный разрез.
- Фиг. 7. То же. Тангенциальный разрез.

ТАБЛИЦА II

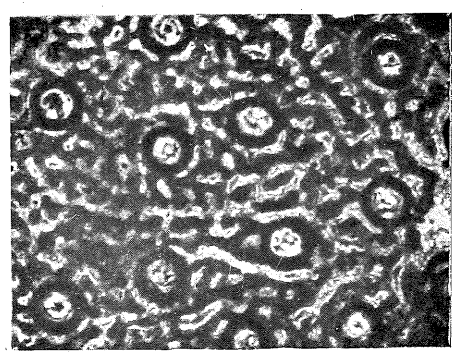
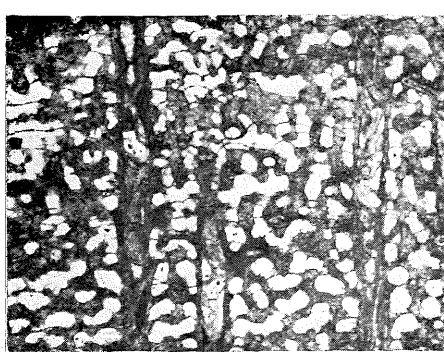
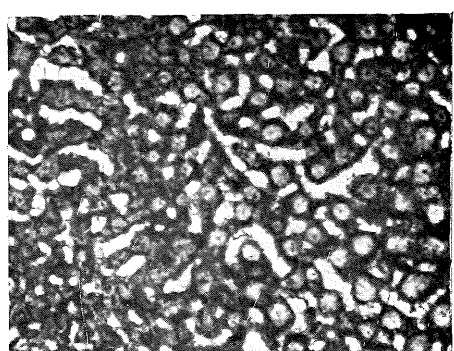
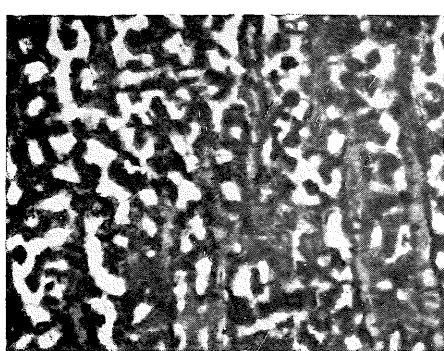
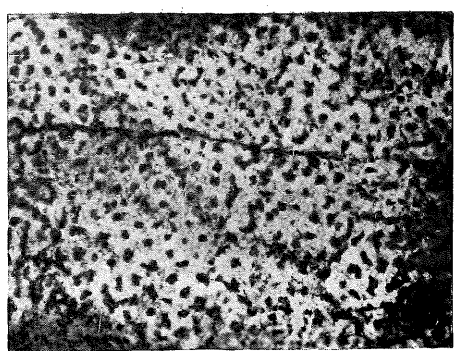
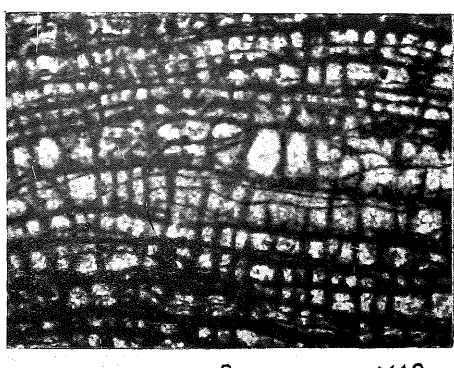


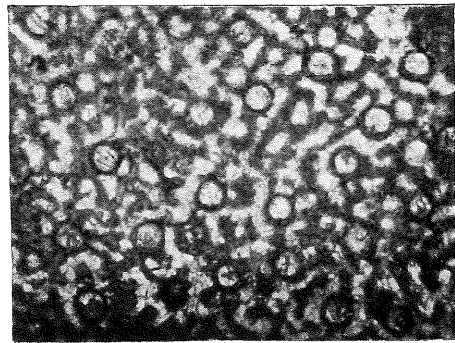
ТАБЛИЦА III

- Фиг. 1. *Stromatopora Hüpschii* Barg. Вертикальный разрез другого образца.
- Фиг. 2. То же. Тангенциальный разрез предыдущего образца.
- Фиг. 3. То же. Вертикальный разрез другого образца.
- Фиг. 4. То же. Тангенциальный разрез предыдущего образца.
- Фиг. 5. *Stromatopora sokolensis* sp. nov. Голотип. Вертикальный разрез.
- Фиг. 6. То же. Тангенциальный разрез.
- Фиг. 7. *Stromatopora grintschukensis* sp. nov. Голотип. Вертикальный разрез.
- Фиг. 8. То же. Тангенциальный разрез.

ТАБЛИЦА III



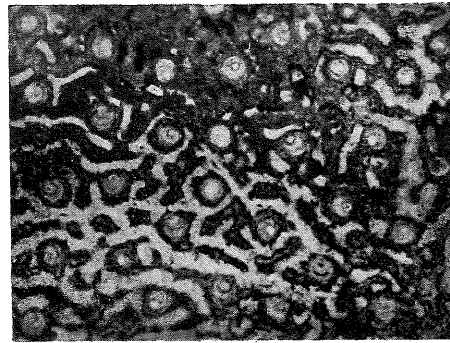
1 $\times 10$



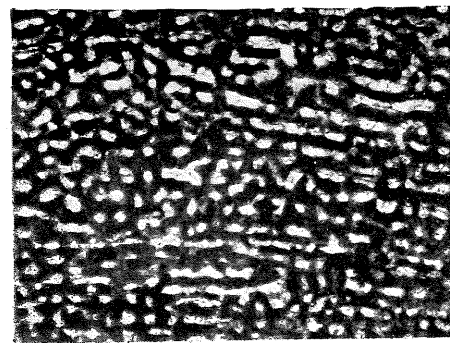
2 $\times 10$



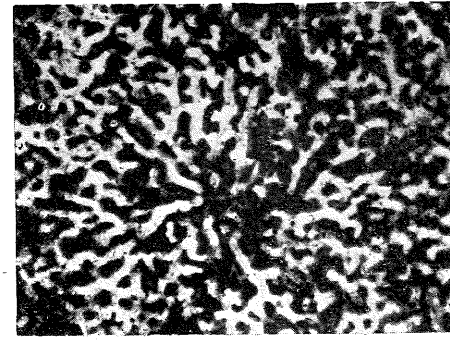
3 $\times 10$



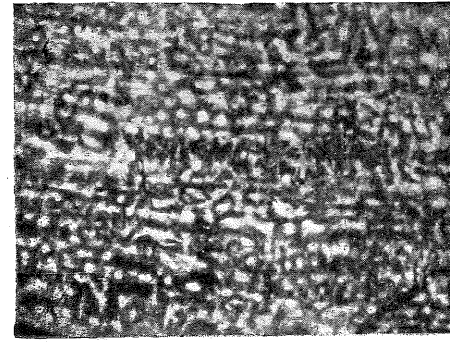
4 $\times 10$



5 $\times 10$



6 $\times 10$



7 $\times 10$



8 $\times 10$

ТАБЛИЦА IV

- Фиг. 1. *Stromatopora carteri* Nich. var. *podolica* var. nov.
Генотип. Вертикальный разрез.
- Фиг. 2. То же. Тангенциальный разрез.
- Фиг. 3. *Stromatopora convicta* sp. nov. Голотип. Вертикаль-
ный разрез.
- Фиг. 4. То же. Тангенциальный разрез.
- Фиг. 5. То же. Вертикальный разрез другого образца.
Генотип.
- Фиг. 6. То же. Тангенциальный разрез предыдущего об-
разца.
- Фиг. 7. *Hermatostroma derzavini* sp. nov. Голотип. Верти-
кальный разрез.
- Фиг. 8. То же. Тангенциальный разрез.

ТАБЛИЦА IV

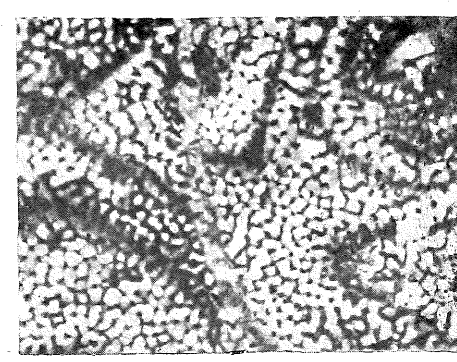
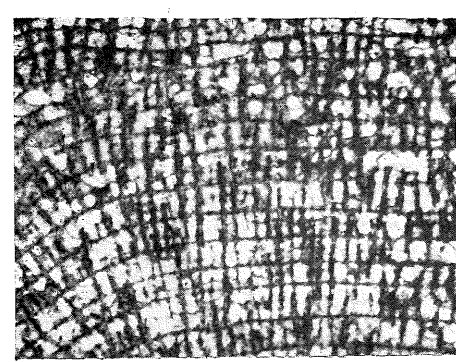
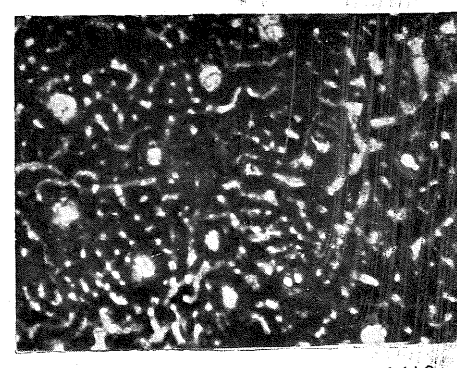
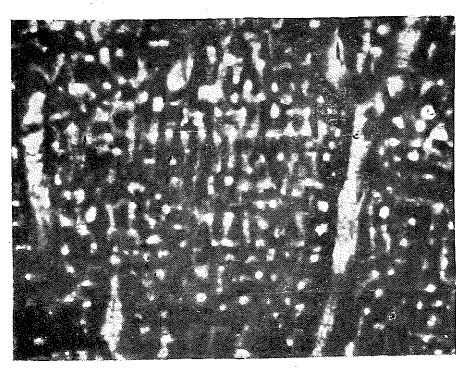
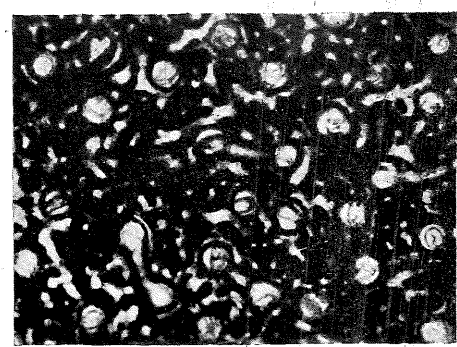
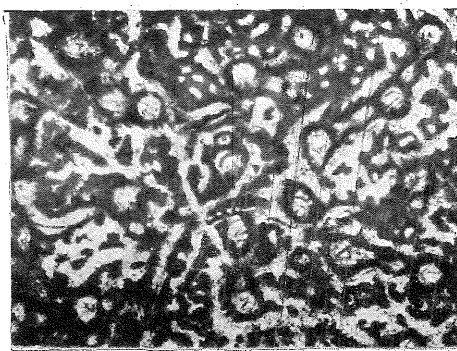


ТАБЛИЦА V

- Фиг. 1. *Hermatostroma derzavini* sp. nov. Тангенциальный разрез того же образца, что и в табл. IV.
- Фиг. 2. *Hermatostroma episcopale* Nich. var. *talovense* var. nov. Голотип. Вертикальный разрез.
- Фиг. 3 и 4. То же. Тангенциальный разрез.
- Фиг. 5. *Idiostroma elegans* sp. nov. Голотип. Вертикальный разрез.
- Фиг. 6. То же. Тангенциальный разрез того же образца.
- Фиг. 7. То же. Тангенциальный разрез того же образца.

ТАБЛИЦА V

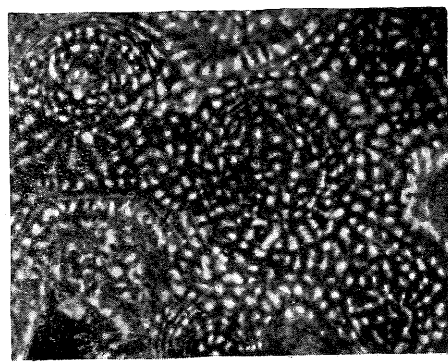
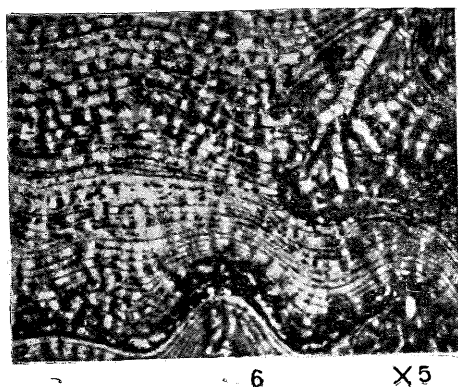
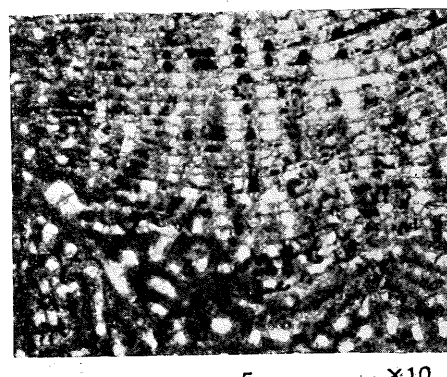
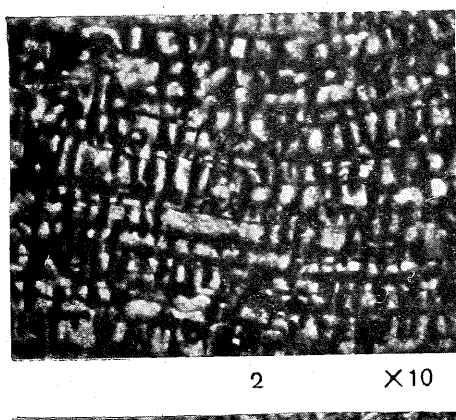
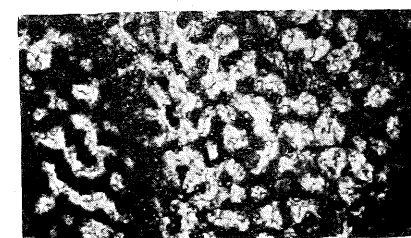
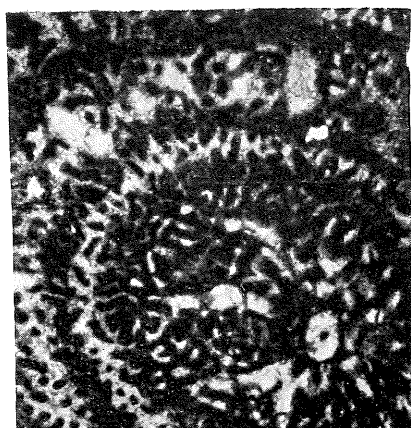
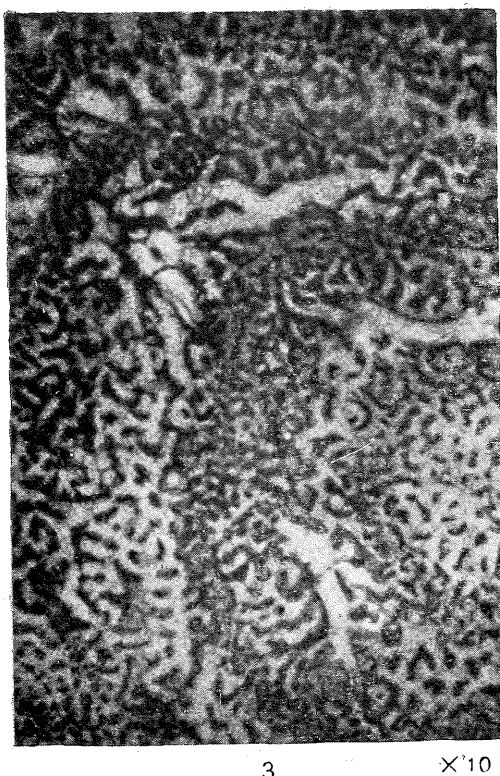
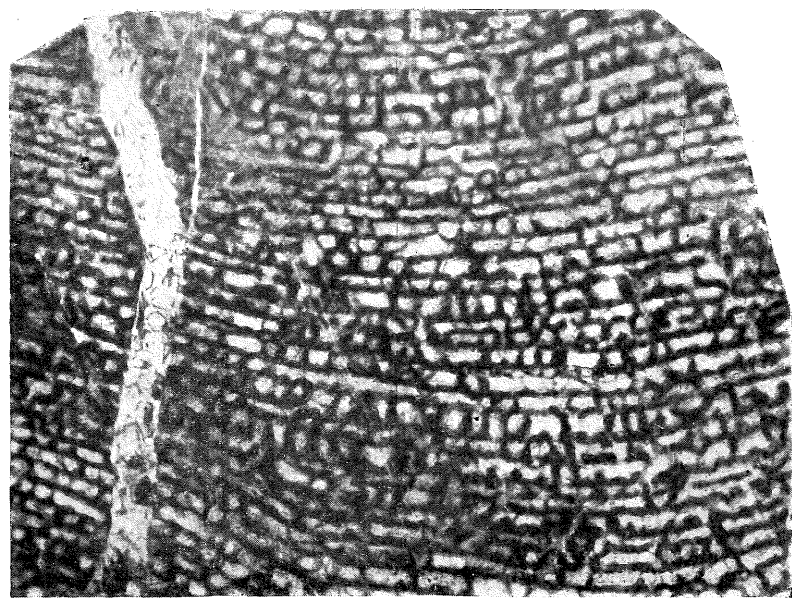


ТАБЛИЦА VI

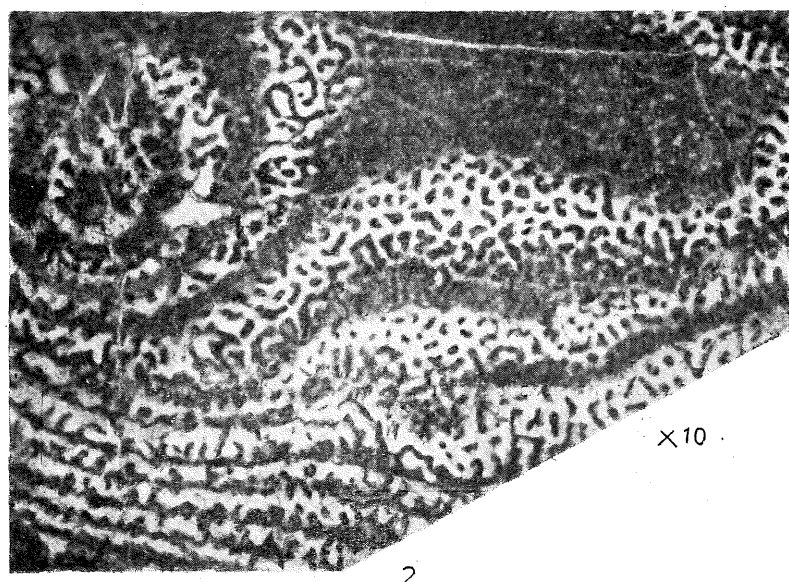
Фиг. 1. *Stromatoporella granulata* Nich. Паратип. Вертикальный разрез.
Фиг. 2. То же. Тангенциальный разрез.

ТАБЛИЦА VI



1

×10



2

×10

О Г Л А В Л Е Н И Е

Стр.

Введение	3
Описание фауны	
Гидроктиноидная группа	6
Семейство Actinostromidae	6
Род <i>Actinostroma</i> Nicholson, 1886	6
<i>Actinostroma crassum</i> sp. nov.	6
<i>Actinostroma labechiiiforme</i> Riabinin	7
<i>Actinostroma istokense</i> sp. nov.	7
Род <i>Clathrocoilona</i> Yavorsky, 1931	8
<i>Clathrocoilona intscherepense</i> sp. nov.	8
Род <i>Clathrodictyon</i> Nicholson and Murie, 1878	9
<i>Clathrodictyon variabile</i> Ria b. var. <i>vilvense</i> var. nov.	9
Семейство Stomatoporoidea	10
Род <i>Stromatopora</i> Goldfuss, 1826	10
<i>Stromatopora Beuthii</i> Bargatzky	10
<i>Stromatopora Hüpschii</i> Bargatzky	10
<i>Stromatopora sokolensis</i> sp. nov.	11
<i>Stromatopora grintschukensis</i> sp. nov.	12
<i>Stromatopora carteri</i> Nich. var. <i>podolica</i> var. nov.	12
<i>Stromatopora convicta</i> sp. nov.	13
Род <i>Stromatoporella</i> Nicholson, 1886	14
<i>Stromatoporella granulata</i> Nicholson,	14
Семейство Idiostromidae Nicholson, 1875	15
Род <i>Hermatostroma</i> Nicholson, 1886	15
<i>Hermatostroma derzavini</i> sp. nov.	15
<i>Hermatostroma episcopale</i> Nich. var. <i>talovense</i> var. nov.	15
Род <i>Idiostroma</i> Winchell, 1877	16
<i>Idiostroma elegans</i> sp. nov.	16
Таблицы распространения палеозойских и мезозойских строматопороидей	18
Литература	33

Редактор *B. П. Нехорошев*

Редактор издательства *B. B. Шумов*

Техн. редактор *M. П. Манина*

Корректор *A. Г. Покровский*

Сдано в набор 19/V 1951 г.

Подписано к печати 10/XI 1951 г.

Формат 70×108^{1/16}.

1,5 бум. л. — 4,11 печ. л.

Уч.-изд. л. 3,0

T 08819.

Заказ 728.

Тираж 1000 экз. Цена 2 р. 95 к.

1-я типография Профиздата. Москва, Крутицкий вал, 18.